



Update: 2023-03-15

高中物理二级结论随笔

By Guotao He

前言

本书采用 L^AT_EX 语言编写，使用 LuaL^AT_EX 在 TexPage、GitHub Actions 以及一台装有 Tex Live 2021 的 Android 平板三个平台上完成编译（因此选用 LuaL^AT_EX，此渲染引擎不依赖于系统字库，便于在 Android 设备中运行）。

本书在 GitHub 上开源，GitHub 项目链接：

https://github.com/GHe0000/GHe_Book



借助 GitHub Actions，每次在 GitHub 上 Push 都会自动进行 PDF 的编译和发布，此 PDF 保持最新但没有经过校验，可能会有错误。你可以在下面的链接找到 GitHub Actions 自动编译的版本以及历史版本。

自动编译项目地址：https://github.com/GHe0000/GHe_Book/tree/gh_actions_builds

自动编译 PDF 下载：https://ghe0000.github.io/GHe_Book/main.pdf

该书遵循 CC 4.0 BY-NC 协议¹ 共享，简而言之，您可以自由地：

- 共享 —— 在任何媒介以任何形式复制、发行本作品
- 演绎 —— 修改、转换或以本作品为基础进行创作

惟须遵守下列条件：

- 署名
- 非商业性使用
- 没有附加限制 —— 您不得限制其他人做许可协议允许的事情

¹ 你可以在此找到该协议的完整描述：<https://creativecommons.org/licenses/by-nc/4.0/legalcode.zh-Hans>

目录

| | |
|-----------------------|----|
| 前言 | I |
| Chapter 1 高中物理常用数据及图像 | 1 |
| §1.1 常用物理学常量 | 1 |
| §1.2 常用估计值 | 1 |
| §1.3 常用单位换算 | 1 |
| 1.3.1 国际单位制词头换算 | 1 |
| 1.3.2 常用单位与国际单位制单位换算 | 1 |
| §1.4 常用小量近似 | 1 |
| §1.5 常用物理图像 | 2 |
| 1.5.1 等量同种电荷 | 2 |
| 1.5.2 等量异种电荷 | 3 |
| 1.5.3 磁场 | 4 |
| Chapter 2 力学 | 5 |
| §2.1 等时圆 | 5 |
| §2.2 等效重力场 | 5 |
| §2.3 类平抛与偏转角关系 | 7 |
| §2.4 摩擦角与全反力 | 8 |
| §2.5 整体牛二定律 | 9 |
| §2.6 图解旋转弹簧类问题 | 10 |
| §2.7 类抛体最远射程若干解法 | 11 |
| §2.8 换系 | 14 |
| 2.8.1 速度及加速度牵连 | 14 |
| 2.8.2 惯性力 | 15 |
| 2.8.3 约化质量 | 15 |
| §2.9 质心系 | 16 |
| 2.9.1 质心 | 16 |
| 2.9.2 质心与系统总动量 | 17 |
| 2.9.3 质心系 | 18 |
| 2.9.4 质心系动能定理 | 19 |
| §2.10 恢复系数 | 20 |
| 2.10.1 定义与基本性质 | 20 |
| 2.10.2 完全弹性碰撞速度关系 | 21 |
| 2.10.3 恢复系数与能量关系 | 21 |
| §2.11 反冲运动能量变化 | 23 |

| | |
|-------------------------------|-----------|
| Chapter 3 电磁学 | 25 |
| §3.1 杆切割磁场若干二级结论 | 25 |
| 3.1.1 不涉及电容 | 25 |
| 3.1.2 涉及电容 | 26 |
| §3.2 “大内偏大，小外偏小” | 27 |
| 3.2.1 含义 | 27 |
| 3.2.2 证明 | 28 |
| §3.3 电源输出功率性质 | 29 |
| §3.4 等效源 | 31 |
| 3.4.1 电压源与电流源 | 31 |
| 3.4.2 电压源与电流源间关系 | 31 |
| 3.4.3 戴维宁定理与诺顿定理 | 32 |
| 3.4.4 等效源在电路分析中作用 | 33 |
| §3.5 “串反并同”及“广义串并联”判断 | 35 |
| §3.6 变压器等效 | 38 |
| 3.6.1 变压器电流关系 | 38 |
| 3.6.2 变压器等效电阻 | 39 |
| 3.6.3 变压器等效电源 | 40 |
| §3.7 “均方根值”速求有效值 | 40 |
| §3.8 正则动量 | 43 |
| §3.9 “同吸反斥” | 43 |
| §3.10 电磁场换系 | 44 |
| §3.11 配速法 | 45 |
| 3.11.1 分解速度角度介绍“配速法” | 45 |
| 3.11.2 电磁场换系角度介绍“配速法” | 45 |
| 3.11.3 配速法与粒子汇聚 | 46 |
| §3.12 通用“左手定则” ^{* 2} | 47 |
| Chapter 4 波动与光学 | 49 |
| §4.1 参考圆 | 49 |
| 4.1.1 定义 | 49 |
| 4.1.2 波动中各质点参考圆关系 | 50 |
| 4.1.3 振动的叠加与参考圆叠加 | 50 |
| §4.2 “同侧法”判断波动方向 | 50 |
| §4.3 “旋转法”判断干涉平面凸起还是凹下 | 51 |
| §4.4 双缝干涉——“横乘横等于竖乘竖” | 51 |
| Chapter 5 测试 | 53 |
| §5.1 SI 单位 | 53 |
| §5.2 定理环境 | 53 |

²带“*”号为娱乐章节

Chapter 1

高中物理常用数据及图像

§1.1 常用物理学常量

| 符号 | 名称 | 精确值 ¹ | 高中常用值 |
|-----|-------|---|---|
| g | 重力加速度 | $9.80665m/s^2$ | $10m/s^2$ |
| G | 引力常量 | $6.67384 \times 10^{11} N \cdot m^2/kg^2$ | $6.67 \times 10^{-11} N \cdot m^2/kg^2$ |
| e | 元电荷 | $1.602176565 \times 10^{-19} C$ | $1.6 \times 10^{-19} C$ |
| k | 静电力常量 | $8987551788 N \cdot m^2/C^2$ | $9 \times 10^9 N \cdot m^2/C^2$ |
| c | 真空中光速 | $299792458m/s$ | $3 \times 10^8 m/s$ |
| h | 普朗克常数 | $6.62606957 \times 10^{-34} J \cdot s$ | $6.63 \times 10^{-34} J \cdot s$ |

¹ 精确值参考了 CODATA(2010) 推荐值, 可能跟高中课本有细微出入

§1.2 常用估计值

| 符号 | 名称 | 估计值 | 备注 |
|----------------|-----------|--------------|------------|
| R_{earth} | 地球半径 | $6400km$ | 水密度的 5.5 倍 |
| ρ_{earth} | 地球平均密度 | $5500kg/m^3$ | |
| R_{sync} | 同步卫星轨道半径 | | |
| U_m | 220V 市电振幅 | $311V$ | |

§1.3 常用单位换算

1.3.1 国际单位制词头换算

| 名称 | 符号 | 数值 | 名称 | 符号 | 数值 |
|----|-----|----------------|----|-------|------------------|
| 千 | k | $1k = 10^3$ | 兆 | M | $1M = 10^6$ |
| 毫 | m | $1m = 10^{-3}$ | 微 | μ | $1\mu = 10^{-6}$ |
| 纳 | n | $1n = 10^{-9}$ | 皮 | p | $1p = 10^{-12}$ |

1.3.2 常用单位与国际单位制单位换算

§1.4 常用小量近似

考虑到 2022 年全国甲卷压轴题需要使用小量近似, 故在此给出高中中常见的小量近似 (所有的小量近似表达式都是将函数做 0 处的泰勒 (Taylor) 展开, 只保留前一阶项或者二阶项得来)

下面所有式子中, $x \ll 1$ (即 x 为小量)

- $\sin x \approx \tan x \approx x$

- $\cos x \approx 1 - \frac{x^2}{2}$
- $(1+x)^n \approx 1+nx$ (n 为常数)
- $\ln(x+1) \approx x - \frac{x^2}{2}$
- $e^x \approx 1+x + \frac{x^2}{2}$

后三项不太常用，考试中若出现一般也会给，可以不记忆。

§1.5 常用物理图像

1.5.1 等量同种电荷

下图中均取电荷 $q = 1C$ ，位于 $(0.5m, 0)$ 、 $(-0.5m, 0)$

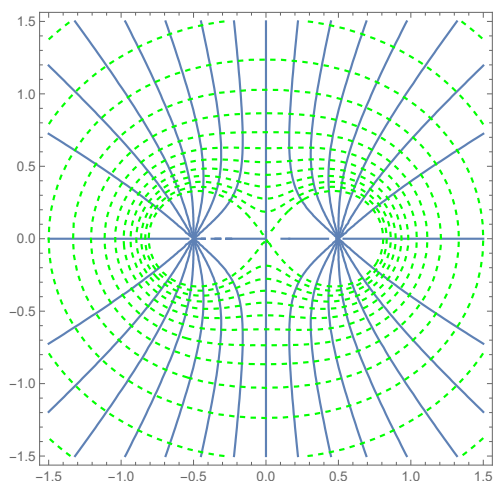


图 1.1: 电场线与等距等势面

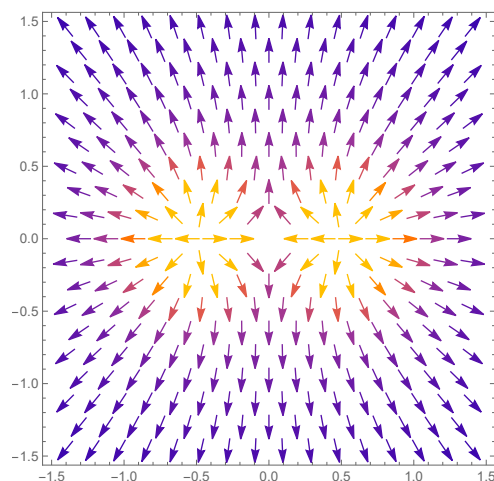


图 1.2: 电场场强与方向¹

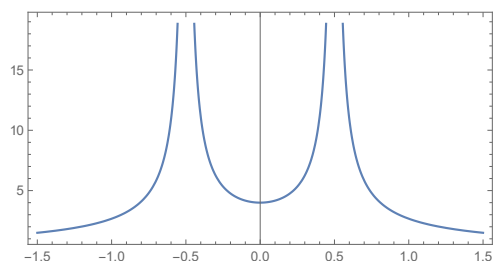


图 1.3: 沿 x 轴电势 ($\phi-x$ 图)

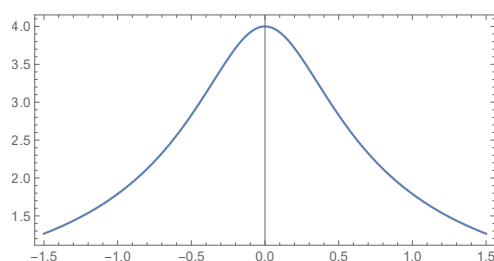
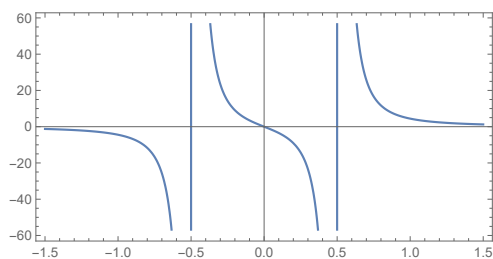
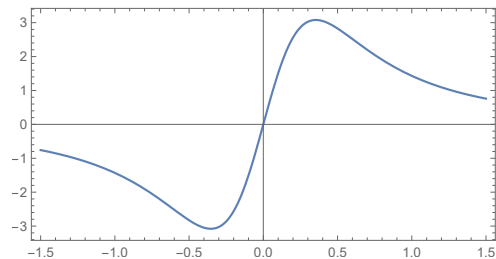


图 1.4: 沿 y 轴电势 ($\phi-y$ 图)

¹箭头颜色表示场强，颜色越亮场强越大，下同

图 1.5: 沿 x 轴 x 方向电场 ($E_x - x$ 图)图 1.6: 沿 y 轴 y 方向电场 ($E_y - y$ 图)

1.5.2 等量异种电荷

下图中取电荷 $q = 1C$, 位于 $(-0.5m, 0)$; 电荷 $q = -1C$, 位于 $(0.5m, 0)$

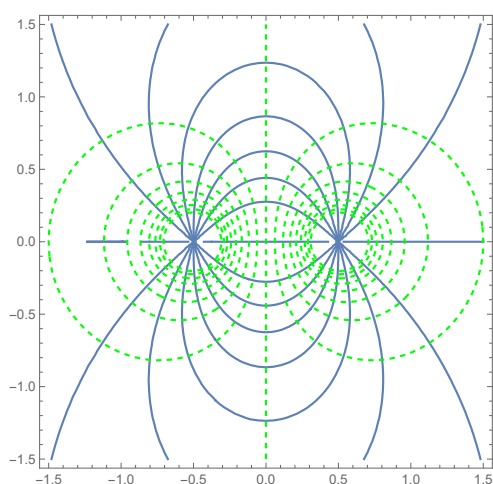


图 1.7: 电场线与等距等势面

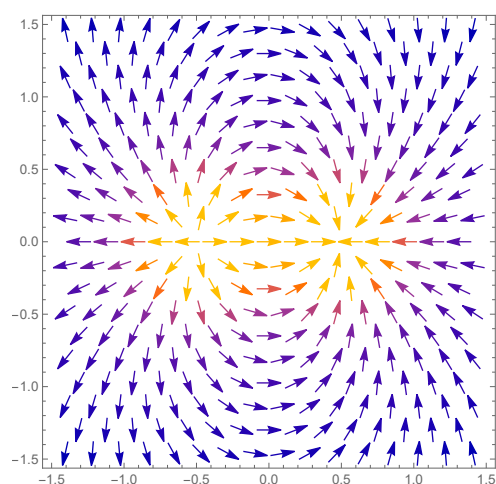
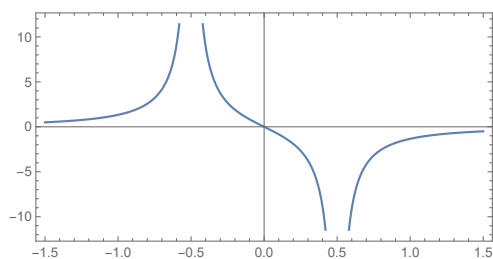
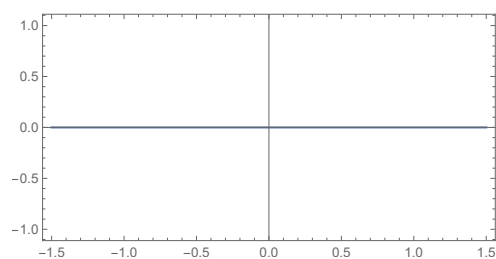
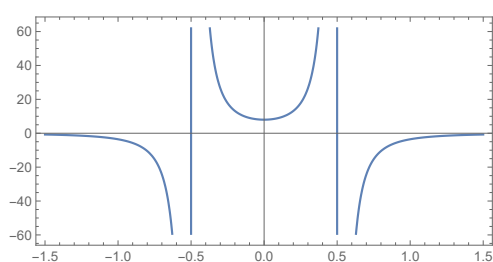
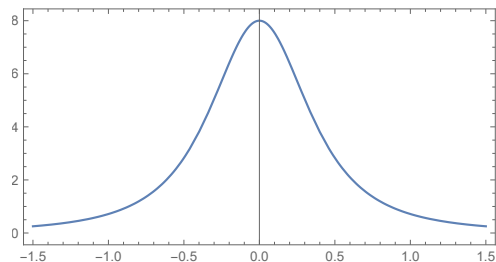


图 1.8: 电场场强与方向

图 1.9: 沿 x 轴电势 ($\phi - x$ 图)图 1.10: 沿 y 轴电势 ($\phi - y$ 图)图 1.11: 沿 x 轴 x 方向电场 ($E_x - x$ 图)图 1.12: 沿 y 轴 x 方向电场 ($E_x - y$ 图)

1.5.3 磁场

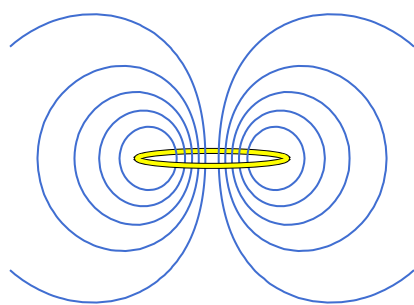


图 1.13: 通电圆环磁场²

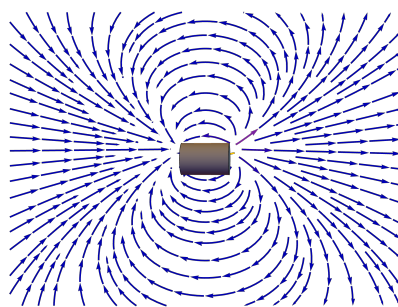
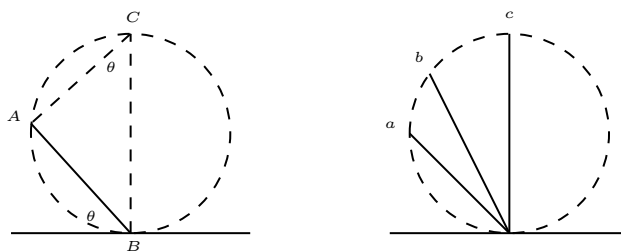


图 1.14: 条形磁铁磁场³

²图像原作者: S.M.Blinder 链接: <https://demonstrations.wolfram.com/MagneticFieldOfACurrentLoop/>, 通过 CC BY-NC-SA 协议共享

³图像原作者: S.M.Blinder 链接: <https://demonstrations.wolfram.com/MagneticFieldOfACylindricalBarMagnet/>, 通过 CC BY-NC-SA 协议共享

§2.1 等时圆



如左图，在竖直平面内，有一光滑斜面 AB ，其中 B 点在地面上固定， A 点可在一圆上运动。设 AB 与地面倾角为 θ 。由于 A 在圆上，取 C 使得 CB 为直径，则 $\angle CAB = 90^\circ$ ，故 $\angle ACB = \theta$ 。记圆的半径为 R ，若有一物体从 A 点下滑至 B 点，则下滑距离 L 为

$$L = 2R \sin \theta$$

沿斜面下滑的加速度为

$$a = g \sin \theta$$

故下滑用时为

$$T = \sqrt{\frac{2L}{a}} = \sqrt{\frac{4R}{g}}$$

可以看到下滑时间与 θ 无关，即右图中物体从 a 、 b 、 c 三个斜面下滑用时相同，我们称图中的圆为“等时圆”。

定理 2.1.1: 等时圆

物体从圆上任意一点沿斜面无摩擦自由运动到圆上最低点的时间都相等。

同理，物体从圆上最高点沿斜面无摩擦自由运动到圆上任意一点的时间都相等。

§2.2 等效重力场

若物体在空间中运动受到除重力外恒定不变的力，力的大小和方向不随着物体位置的变化而变化（如匀强电场中带电小球所受到的电场力），或者存在恒定不变的加速度（如在加速的电梯中，加速度车厢里），则可以将所受到的恒力产生的加速度或者该恒定不变的加速度的矢量取反后与重力加速度合成成一个新的恒定不变的加速度，即“等效重力加速度”。

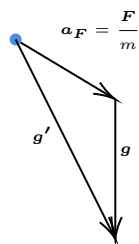


图 2.1: 受到恒力

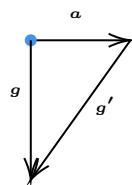


图 2.2: 存在恒加速

右图涉及到换系下加速度牵连, 请参考换系下速度及加速度牵连章节 (2.8.1), 图中 \boldsymbol{a} 为绝对加速度, \boldsymbol{g}' 为牵连加速度, \boldsymbol{g} 为相对加速度。

定义 2.2.1: 等效重力加速度

- (1) 若物体受到除重力外恒力 \boldsymbol{F} , 其对物体产生的加速度为 $\boldsymbol{a}_F = \frac{\boldsymbol{F}}{m}$, 则等效重力加速度为 $\boldsymbol{g}' = \boldsymbol{g} + \boldsymbol{a}_F$
- (2) 若物体在地面系中存在恒定不变的加速度 \boldsymbol{a} , 则在一同相对地面加速的参考系中, 等效重力加速度^a为 $\boldsymbol{g}' = \boldsymbol{g} - \boldsymbol{a}$

^a此处为负号的原因请参考惯性力章节 (2.8.2)

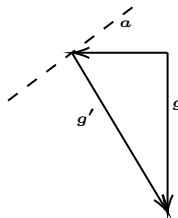
引入等效重力场, 我们便可以将一个复合场问题转化为一个单场问题从而运用重力场中运动的结论, 或者将一个存在加速的动力学问题转化为一个静力学问题从而进行受力分析, 简化解题过程。

例 2.2.1: 2017 · 上海

一碗水置于火车车厢内的水平桌面上。当火车向右做匀减速运动时, 水面形状接近于图 ()



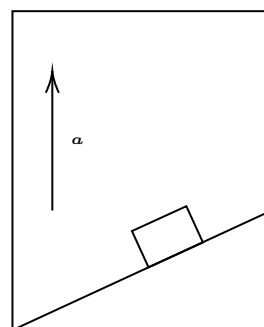
由于火车向右减速运动, 故存在向左的加速度, 在火车参考系中等效重力加速度如图所示, 由于液面与等效重力加速度垂直 (参考现实中水面), 故液面应如图中虚线所示, 故答案选 A



例 2.2.2: 2015 · 海南

如图所示, 升降机内有固定斜面, 斜面上放物块。开始时, 升降机做匀速运动, 物块相对于斜面匀速下滑。当升降机加速上升时 ()

- (A) 物块与斜面间的摩擦力减小
- (B) 物块与斜面间的正压力增大
- (C) 物块相对于斜面减速下滑
- (D) 物块相对于斜面匀速下滑

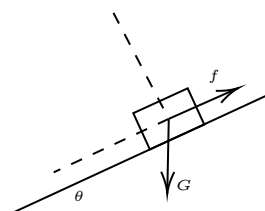


对物块受力分析, 升降机匀速时, 列受力平衡:

$$N = mg \cos \theta, \quad f = \mu N = mg \sin \theta$$

故解得匀速条件 $\mu = \tan \theta$ 。

当升降机以加速度 a 上升时, 以升降机为参考系, 等效重力加速度 $g' = g + a$, 将 g' 替换上式 g , 得到 N 增大, f 增大, 由于前文解出匀速运动条件 $\mu = \tan \theta$ 与 g 无关, 则升降机加速后仍旧保持匀速运动, 故选 BD。

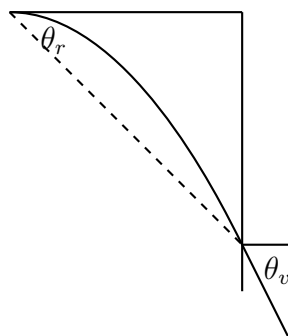


§2.3 类平抛与偏转角关系

若物体在空间中运动受到恒定不变的力, 且该物体的初速度方向与所受力的方向垂直, 则该物体做类平抛运动 (当只受重力作用时, 便为经典的平抛运动), 以运动初速度方向为 x 轴, 受力方向为 y 轴, 建系。设运动初速度为 v_x , 运动时间为 t , 加速度 $a = \frac{F}{m}$, 则有

$$\begin{aligned} x &= v_x t \\ y &= \frac{1}{2} a t^2 \\ v_y &= a t \end{aligned} \tag{2.1}$$

记速度偏向角为 θ_v , 位移偏向角为 θ_r , 则有



$$\tan \theta_v = \frac{v_y}{v_x}, \quad \tan \theta_r = \frac{y}{x}$$

将 (2.1) 带入上式, 解得

$$\tan \theta_v = 2 \tan \theta_r$$

定理 2.3.1: 类平抛速度偏向角与位移偏向角关系

在类平抛运动中, 记速度偏向角为 θ_v , 位移偏向角为 θ_r , 则有

$$\tan \theta_v = 2 \tan \theta_r$$

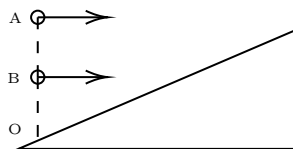
即速度偏向角正切值等于位移偏向角正切值二倍。

此定理可以在求解类平抛运动的问题中简化计算。如知道位移偏转角马上便可求出速度偏转角, 跳过联立求解的步骤, 进而求出速度改变量, 进一步求出运动时间等其他参量。

例 2.3.1: 练习题

如图所示, 斜面固定在水平面上, 两个小球分别从 O 点正上方 A、B 两点向右水平抛出, B 为 AO 连线的中点, 最后两球都垂直落在斜面上, A、B 两球击中斜面位置到 O 点的距离比为 ()

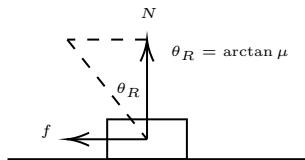
- (A) $\sqrt{2} : 1$
- (B) $2 : 1$
- (C) $4 : \sqrt{2}$
- (D) $4 : 1$



由题可知, 最后两球都垂直落在斜面上, 两球速度偏转角 θ_v 相同, 故两球位移偏转角 θ_r 相同, 故两球落点距 O 点距离与 AO 和 BO 成比例, 即 2:1, 故选 B。

§2.4 摩擦角与全反力

若一物体放在粗糙水平面上, 物体与水平面间摩擦系数为 μ , 设水平面给该物体的支持力为 N 。若该物体相对水平面发生滑动, 则该物体受到的滑动摩擦为 μN 。



定义 2.4.1: 摩擦角和全反力

如图所示, 现在我们将该物体受到的支持力与摩擦力合为一个力, 我们称支持力与摩擦力的合力为全反力, 记为 R 。由图可见, 全反力的方向固定, 记 θ_R 为全反力与竖直方向夹角。则

$$\tan \theta_R = \frac{\mu N}{N} = \mu$$

即摩擦角的正切值等于摩擦系数。

例 2.4.1: 练习题

如图, 水平地面上有一木箱, 木箱与地面间的动摩擦因数为 μ 。现对木箱施加一拉力 F , 使木箱做匀速直线运动。设 F 的方向与水平地面的夹角为 α , 在 α 从 0° 逐渐增大到 90° 的过程中, 木箱的速度保持不变, 则 ()

- (A) F 先减小后增大 (B) F 一直增大
(C) F 先增大后减小 (D) F 一直减小



由于木箱速度保持恒定不变, 故木箱一直受力平衡。由前文知, 摩擦力 f 与压力 N 的合力全反力 R 方向恒定, 沿图中虚线方向。

由于木箱受力平衡, 故全反力 R (替代了摩擦力 f 与压力 N), 重力 G , 拉力 F 三力平衡, 原本四力平衡问题化为三力平衡问题。由力的矢量三角形知, 拉力 F 先减小, 再增大, 故选 A。

注 2.4.1: 思考

设上题木块质量为 m , 试用摩擦角和全反力求出 F 的最小值 F_{min} 和此时与地面夹角 α 。

§2.5 整体牛二定律

对于一个系统, 若该系统由 n 个质点构成, 外界对物体有力的作用 (外力), 质点之间也有力的作用 (内力), 记第 i 个质点的质量为 m_i , 加速度为 \mathbf{a}_i , 作用在第 i 个质点的外力为 \mathbf{F}_i , 第 i 个质点对第 j 个质点的内力为 \mathbf{f}_{ij} , 则

$$\begin{aligned}\mathbf{F}_1 + \sum_{i=1}^n \mathbf{f}_{i1} &= m_1 \mathbf{a}_1 \\ \mathbf{F}_2 + \sum_{i=1}^n \mathbf{f}_{i2} &= m_2 \mathbf{a}_2 \\ &\vdots \\ \mathbf{F}_n + \sum_{i=1}^n \mathbf{f}_{in} &= m_n \mathbf{a}_n\end{aligned}$$

注意到 $\mathbf{f}_{ij} = -\mathbf{f}_{ji}$, $\mathbf{f}_{ii} = \mathbf{0}$ 对等式两边求和, 得

$$\mathbf{F} = \sum \mathbf{F}_i = \sum m_i \mathbf{a}_i$$

定理 2.5.1: 整体牛二定律

对于一个多质点系统, 其所受合外力与各质点加速度满足

$$\mathbf{F} = \sum \mathbf{F}_i = \sum m_i \mathbf{a}_i$$

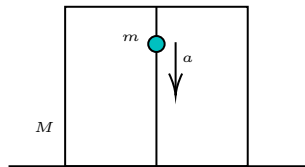
其中第 i 个质点的质量为 m_i , 加速度为 \mathbf{a}_i 。

整体牛二定律可以帮助我们跳过繁琐的内力求解, 运用整体法直接求出系统所受外力。

例 2.5.1: 练习题

一个箱子放在水平地面上，箱内有一固定的竖直杆，在杆上套着一个环，箱与杆的质量为 M ，环的质量为 m 。如图所示。已知环沿杆以加速度 a 匀加速下滑，则此时箱对地面的压力大小为 ()

- (A) $Mg - ma$ (B) Mg
(C) $Mg + mg$ (D) $Mg + mg - ma$



取整体为研究对象，箱加速度为 0，环加速度为 a ，设 N 为箱对地面压力，对整体列整体牛顿方程，得

$$Mg + mg - N = 0 + ma$$

解得 $N = Mg + mg - ma$ ，故选 D。

§2.6 图解旋转弹簧类问题

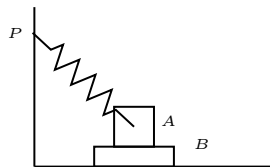
对于弹簧，有胡克定律 $F = kx$ ，其中 x 为弹簧形变量，可以看到弹力与弹簧形变量成正比，故如果我们能用图示表示出弹簧形变量，我们便可以半定量地画出弹力的大小和方向，从而便于我们运用力的矢量三角形分析其他力的变化。

一个基本想法是，找到弹簧处于原长时候的位置，以旋转弹簧定点为圆心，原长为半径，画圆。当弹簧不在原长时，作弹簧所在直线，交圆于一点，该点与弹簧动点距离即表征弹力大小。具体操作参考下面例题。

例 2.6.1: 练习题

如图所示，A、B 两物块始终静止在水平地面上，一轻质弹簧一端连接在竖直墙上 P 点，另一端与 A 相连接，下列说法正确的是 ()

- (A) 如果 B 对 A 无摩擦力，则地面对 B 也无摩擦力
(B) 如果 B 对 A 有向左的摩擦力，则地面对 B 也有向左的摩擦力
(C) P 点缓慢下移过程中，B 对 A 的支持力一定减小
(D) P 点缓慢下移过程中，地面对 B 的摩擦力一定增大



记 F_{BA} 为 B 对 A 摩擦力， F_{AB} 为 A 对 B 摩擦力， f 为地面对 B 摩擦力。对 B 受力分析，水平方向有 $F_{BA} = F_{AB} = f$ ， f 与 F_{AB} 方向相反。由牛顿第三定律 F_{BA} 与 F_{AB} 大小相同方向相反，故 F_{BA} 与 f 同向，AB 正确。



如图所示，由于题目中并未告诉我们弹簧原长位置，故我们随便假设一点 a 为弹簧原长位置，由于物块 A 、 B 保持静止，弹簧另一端在竖直面上移动，故以 A 中心为圆心，到 a 距离为半径，作圆。现取高于 a 点的 b 点分析，根据前文所述，我们可以画出弹力的示意图，并对其进行分解，如图中小图所示。从 b 下移到 a 的过程中，由图可以看出，弹力 f 先减小后增大（过 a 点后增大），其分量 f_x 、 f_y 也先减小后增大（注意过 a 点后两个分量方向与在 b 点方向相反）。

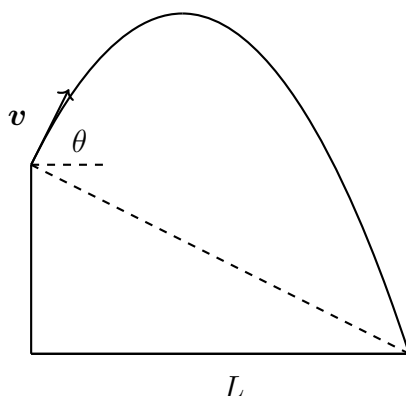
故我们可知，从 b 到 c 的过程中，地面对 B 摩擦力 f 先减小后增大，地面对 B 压力 N 一直增大（ f_y 过 a 点后反向）。

但原题中并未告知我们初始 P 点在原长位置（ a 点）上方还是下方，故有多种可能， CD 均错。综上所述，选 AB 。

§2.7 类抛体最远射程若干解法

在涉及到抛体运动或类抛体运动的最远射程问题时，在高中一般情况下会联立运动学方程求解得出射程 L 与抛射角 θ 的函数关系，对其关于 θ 求导并带入求得射程最值亦或者使用三角函数运算运用三角函数的值域求解出射程最值。这两种方法或多或少都涉及到了较复杂的数学运算，在此介绍两种方法，可以在不进行复杂的求导或三角函数运算下求解此类问题。

例 2.7.1: 自编题



如图所示，现在假设在一个高为 h 的平台上抛球，抛出的速度恒定为 v ，抛射仰角为 θ ，抛出距离为 L ，重力加速度竖直向下为 g ，现试求出抛出距离最大值 L_{max} 以及此时抛射角 θ_0 。

由于无论落在何处，落点与抛点的高度差恒为 h ，故落点速度恒为 $v' = \sqrt{v^2 + 2gh}$ 。我们可

以绘出如下速度三角形

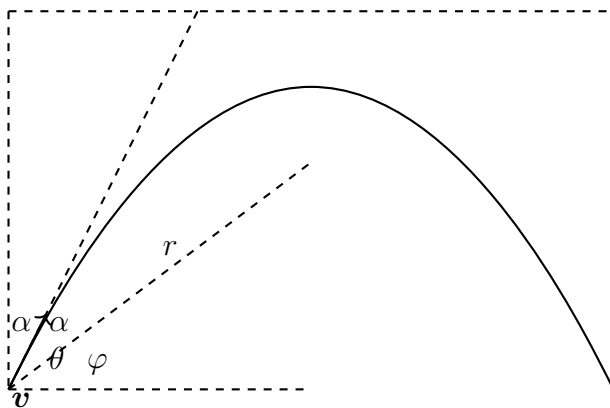


这个三角形的面积 $S = \frac{1}{2}v \cos \theta gt = \frac{1}{2}gL$, 可见, 当三角形面积 S 最大时, L 最大。三角形两边 v 、 v' 长度固定, 当这两边相互垂直时, S 取得最大。故

$$S_{max} = \frac{1}{2}vv' = \frac{1}{2}gL_{max}$$

解得 $L_{max} = \frac{vv'}{g} = \frac{v\sqrt{v^2 + 2gh}}{g}$, 并且此时根据相似三角形可得 $\theta_0 = \arctan \frac{v}{v'} = \arctan \frac{v}{\sqrt{v^2 + 2gh}}$

对于第二种解法, 需要一个定理, 如下



对于任意抛体运动, 记某时刻物体速度大小为 v , 物体到焦点距离为 r , 物体与焦点连线与水平面夹角 φ , 速度与水平面夹角 θ , 由抛物线几何性质易知, 抛物线切线 (也就是速度的延长线) 平分物体与焦点连线与物体对准线所作垂线所形成的角, 记平分后的两个角为 α , 从该位置到抛物线顶点的过程我们可以列如下方程。

$$\theta + \alpha = \varphi + 2\alpha = \frac{\pi}{2}$$

$$r \cos \varphi = v \cos \theta$$

$$v \sin \theta = gt$$

联立上式, 解得 $v^2 = 2gr$ 。故

定理 2.7.1: 抛体运动速度与焦半径关系

对于任一抛体运动, 任意时刻速度 v 与该物体到焦点距离 r 满足

$$v^2 = 2gr$$

对于竖直上抛，可以认为为准距为 0 的抛物线，此时 r 等于到顶点距离，上式便可从能量守恒推出。

运用此定理，我们可以很快解出之前的问题。

例 2.7.2: 接上题，方法二

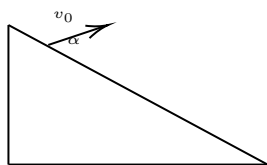
由于无论落在何处，落点与抛点的高度差恒为 h ，故落点速度恒为 $v' = \sqrt{v^2 + 2gh}$ 。根据前文定理，可知抛点到焦点距离为定值，落点到焦点距离也为定值。根据三角形两边之和大于第三边知，当抛点，焦点，落点三点共线时，落点到抛点距离最远，此时 L_{max} ，故

$$L_{max} = \sqrt{\frac{1}{4g^2}(v^2 + v'^2)^2 - h^2} = \frac{v\sqrt{v^2 + 2gh}}{g}$$

此时列出运动学方程，可解出 $\theta_0 = \arctan \frac{v}{\sqrt{v^2 + 2gh}}$

运用此定理还可以解决方法一解决不了的问题，如下

例 2.7.3: 练习题（有删减）



某同学设计了一款小游戏，在倾角为 $\theta = 30^\circ$ 的斜面顶端 A 安装一个玩具小枪，可以在竖直面内沿各个方向射出速度大小均为 $v_0 = \frac{\sqrt{3gL}}{2}$ 的子弹，当子弹射出方向与斜面垂直时，子弹落在斜面上离 A 点距离为 L 的 P 点（图中未画出），不计空气阻力，重力加速度为 g ，斜面足够长，要使子弹落在斜面上时离 A 点最远，子弹射出时的速度与斜面间的夹角应多大，最远距离为多少？

设最远距离为 L_{max} ，则落点速度 v 满足

$$\frac{1}{2}mv_0^2 + mgL_{max} \sin 30^\circ = \frac{1}{2}mv^2$$

根据前文定理，易知当抛点，焦点，落点三点共线时，落点到抛点距离最远，故

$$2gL_{max} = v_0^2 + v^2$$

联立，带入 v_0 ，解得 $L_{max} = \frac{4v_0^2}{3g}$ 。由运动学定理

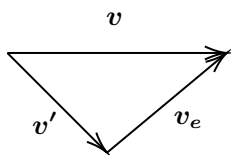
$$2v_0 \sin \alpha = g \cos \theta t, \quad L_{max} = \frac{1}{2}g \sin \theta t^2 + v_0 t \cos \theta$$

解得 $\alpha = 30^\circ$

§2.8 换系

2.8.1 速度及加速度牵连

在高中，我们解题一般取地面参考系进行分析，但有时选取另一个参考系可以简化我们的分析过程。



定理 2.8.1: 换系速度牵连

现在我们假设有一物体在空间中运动，在地面系中观察，其速度为 v ，在一个相对地面以 v_e 速度运动的惯性系中观察，其速度为 v' 。则有如下速度牵连：

$$v = v' + v_e$$

我们称地面系中速度 v 为**绝对速度**，新参考系中速度 v' 为**相对速度**，参考系之间相对速度 v_e 为**牵连速度**。则有

相对速度加牵连速度等于绝对速度

类比上式，我们可以得到在直线匀加速参考系中加速度牵连关系

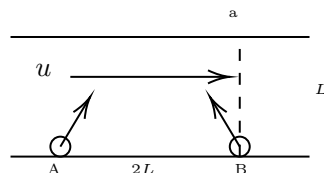
定理 2.8.2: 换系加速度牵连

现在我们假设有一物体在空间中运动，在地面系中观察，其加速度为 a ，在一个相对地面以 a_e 的加速度平动且没有转动的参考系中观察，其加速度为 a' 。则有如下加速度牵连：

$$a = a' + a_e$$

例 2.8.1: 练习题

如图所示，河的宽度为 L 。河水流速为 u ，”。A、B 两船均以静水中的速度 v 同时渡河。出发时两船相距 $2L$ 。A、B 两船船头均与岸边成 60° 角，B 恰好到达正对于出发点的 a 点。则下列判断正确的是（）



- (A) A 船正好也在 a 点靠岸
- (B) A 船在 a 点下游靠岸
- (C) A、B 两船到达对岸的时间相等
- (D) A、B 两船可能在未到达对岸前相遇

A、B 两船垂直于河岸的分速度均为 $v \sin 60^\circ$ ，故两船到达对岸时间相同，均为 $t = \frac{L}{v \sin 60^\circ}$ ，C 对。由于 B 船到达正对于出发点的 a 点，故 $u = v \cos 60^\circ = \frac{v}{2}$ 。以 B 为参考，则 A 船的速

度为 $u + v \cos 60^\circ = v$, 走过的水平距离为 $vt = \frac{L}{\sin 60^\circ} = \frac{2\sqrt{3}L}{3} < 2L$, 故 A 船无法与 B 船相遇, 无法过 a 点, 因此 ABD 错。综上所述, 答案为 C。

2.8.2 惯性力

若物体相对地面存在一个加速度 \mathbf{a} , 则物体所受合外力 \mathbf{F} 满足牛顿第二定理 $\mathbf{F} = m\mathbf{a}$, 其中 m 为物体质量。

定义 2.8.1: 惯性力

有一个质量为 m 的物体在地面系中以 \mathbf{a} 加速运动, 在相对地面以加速度 \mathbf{a} 做变速运动的参考系中, 定义 $\mathbf{f}_e = -m\mathbf{a}$ 为在加速参考系中该物体惯性力。则有 $\mathbf{F} + \mathbf{f}_e = \mathbf{0}$ (相当于在地面系中列式后移项)。

注意惯性力 \mathbf{f}_e 的方向与 \mathbf{a} 的方向相反。

惯性力的作用在于将一个动力学问题转化为一个静力学问题, 从而可以使用矢量三角形等图解方法进行分析, 从而简化解题过程。

2.8.3 约化质量

设在惯性系中有两个物体 A、B, 其质量分别为 m_A 、 m_B , 位矢分别为 \mathbf{r}_A 、 \mathbf{r}_B 。该二体系统不受外力, 但之间有内力。设 A 对 B 的力为 \mathbf{F}_{AB} , B 对 A 的力为 \mathbf{F}_{BA} , 由牛顿第三定律知 $\mathbf{F} = \mathbf{F}_{AB} = -\mathbf{F}_{BA}$ 。故有

$$\begin{aligned}\mathbf{a}_A &= \frac{d^2\mathbf{r}_A}{dt^2} = m_A\mathbf{F}_{BA} \\ \mathbf{a}_B &= \frac{d^2\mathbf{r}_B}{dt^2} = m_B\mathbf{F}_{AB}\end{aligned}$$

现取物体 A 为参考系, 观察物体 B 的运动, 则有

$$\begin{aligned}\frac{d^2(\mathbf{r}_B - \mathbf{r}_A)}{dt^2} &= \frac{\mathbf{F}_{AB}}{m_B} - \frac{\mathbf{F}_{BA}}{m_A} \\ &= \left(\frac{1}{m_B} + \frac{1}{m_A}\right)\mathbf{F} \\ &= \frac{\mathbf{F}}{\mu}\end{aligned}$$

其中 $\mu = \frac{m_A m_B}{m_A + m_B}$ 为约化质量¹。

定义 2.8.2: 约化质量

在一个两体问题中, 设这两个物体质量分别为 m_A 、 m_B , 则定义约化质量 μ 为

$$\mu = \frac{m_A m_B}{m_A + m_B}$$

记忆方法为: “积”在“和”上飞 (鸡在河上飞)

¹有时“约化质量”也被称为“调和质量”、“折合质量”、“并联质量”。笔者青睐于称其为“调和质量”, 因其反映了该质量的更本质的物理意义与对称性, 但为了与其他资料相同, 还是称其为更广泛使用的“约化质量”。

对于一个二体问题，我们可以用约化质量将一个两体问题转化为一个一体问题，从而简化分析和计算。

§2.9 质心系

2.9.1 质心

若一个系统由多个质点组成，其整个系统的质量可等效集中于一点，即质心。

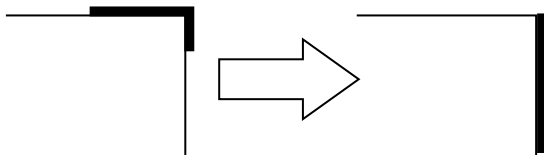
定义 2.9.1: 质心定义

若各质点质量与坐标分别为 $m_1, (x_1, y_1), m_2, (x_2, y_2) \cdots m_n, (x_n, y_n)$ ，则质心位置为

$$x_c = \frac{\sum m_i x_i}{\sum m_i}, \quad y_c = \frac{\sum m_i y_i}{\sum m_i}$$

质心在物理中有很多应用，如如果重力场是匀强场（ g 为定值），则重心与质心重合，因此，重力势能的变化可以利用质心来计算。

例 2.9.1: 练习题



如图所示，有一总质量为 $M = 1\text{kg}$ ，总长度为 $L = 1\text{m}$ 的重绳，开始时有 $L_0 = 0.2\text{m}$ 悬挂于桌边，后由于微扰重绳向右滑落，当重绳左端到达桌沿时，求重绳速度。（忽略重绳与桌面摩擦，桌子足够高以致重绳左端到达桌沿时右端未触地）

如图所示，选取桌面为零势能面，向下为正方向，记线密度 $\lambda = \frac{M}{L} = 1\text{kg/m}$ 。

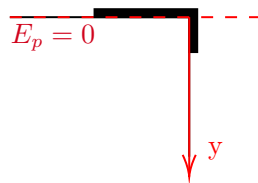
初态质心位置为

$$y_c = \frac{0 \cdot \lambda(L - L_0) + \frac{L_0}{2} \cdot \lambda L_0}{M} = 0.02\text{m}$$

末态质心位置为

$$y'_c = \frac{\frac{L}{2} \cdot \lambda L}{M} = 0.5\text{m}$$

由能量守恒可得 $\frac{1}{2}Mv^2 = Mg(y'_c - y_c)$ ，解得 $v = \frac{4\sqrt{15}}{5}\text{m/s}$



2.9.2 质心与系统总动量

质心还可用于求系统的总动量。由前文质心定义 (2.9.1), 两端求导, 得到 (m_{tot} 为系统总质量²)

$$m_{tot}v_{cx} = m_{tot}\frac{dx_c}{dt} = \sum m_i \frac{dx_c}{dt} = \sum m_i v_{ix}$$

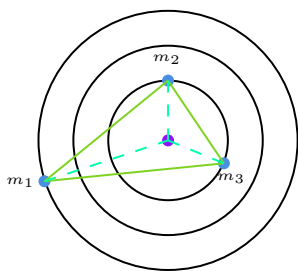
$$m_{tot}v_{cy} = m_{tot}\frac{dy_c}{dt} = \sum m_i \frac{dy_c}{dt} = \sum m_i v_{iy}$$

综上, 有如下定理

定理 2.9.1: 质心与系统总动量

一个系统的总动量等于系统总质量乘上质心速度, 即 $\mathbf{p} = m_{tot}\mathbf{v}$

利用该定理, 我们可以得到一个多星系统的很有用的结论

**定理 2.9.2: 相对静止多星系统的公共圆心**

对于一个多星系统, 若各星之间相对静止, 则该多星系统的公共圆心为该系统质心

对于如上定理, 可用反证法证明, 证明如下:

假定多星系统公共圆心不在质心处, 则质心必定绕公共圆心做匀速圆周运动, 那么根据之前的定理系统, 系统总动量等于系统总质量乘上质心速度, 故系统总质量方向将一直在变化。而该多星系统整体不受外力, 因此系统总动量必须守恒, 这与之前假设不符, 故先前假设不成立, QED³。

在大多数解析中, 此类题目采取的思路是作最一般的位置假设, 然后列方程计算。此定理跳过了繁琐的方程求解, 并令解题有了更强的方向性, 不至于“无头苍蝇”。

注 2.9.1: 易错提醒

在此特别提醒, 万有引力计算绝不可以用质心, 因为万有引力与距离关系不是一次函数关系, 而是平方反比关系。多星系统中某个天体向心力只能分别用万有引力定律计算相互之间引力, 再利用平行四边形法则合成力。

例 2.9.2: 练习题

由三颗星体构成的系统, 忽略其他星体对它们的作用, 存在着种运动形式: 三颗星体在相互之间的万有引力作用下, 分别位于等边三角形的三个顶点上, 绕某一共同的圆心 O 在三角形所在的平面内做相同角速度的圆周运动。若 A 星体的质量为 $2m$, B 、 C 两星体的质量均为 m , 三角形的边长为 a , 求:

- (1) A 星体所受合力大小 F_A ;
- (2) B 星体所受合力大小 F_B ;

²这里下标 tot 为 total 缩写

³QED 为拉丁文 quod erat demonstrandum 的缩写, 意为“证毕”

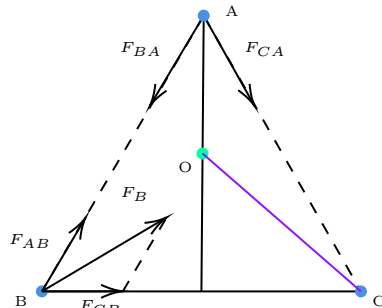
(3) C 星体轨道半径 R_C ;

(4) 三星体做圆周运动周期 T 。

(1) 如图所示, 由万有引力公式 $F_{BA} = F_{CA} = \frac{2Gm^2}{a^2}$, 合力 $F_A = \sqrt{3}F_{BA} = \frac{2\sqrt{3}Gm^2}{a^2}$

(2) A 对 B 引力 $F_{AB} = \frac{2Gm^2}{a^2}$, C 对 B 引力 $F_{CB} = \frac{Gm^2}{a^2}$, 在矢量三角形中使用余弦定理, 得

$$F_B = \sqrt{F_{AB}^2 + F_{CB}^2 - 2F_{AB} \cdot F_{CB} \cos 120^\circ} = \frac{\sqrt{7}Gm^2}{a^2}$$



(3) B、C 质心在 BC 中点, 等效质量为 $2m$, 故三星系统质心在 A 与 BC 中点的连线的中点 (O 点) 上, 故由几何关系

$$R_C^2 = \left(\frac{1}{2} \cdot \frac{\sqrt{3}}{2}a\right)^2 + \left(\frac{a}{2}\right)^2$$

解得 $R_C = \frac{\sqrt{7}}{4}a$

(4) 由对称性

$$F_C = F_B = \frac{\sqrt{7}Gm^2}{a^2} = m\omega^2 R_C$$

故 $T = \frac{2\pi}{\omega} = \pi\sqrt{\frac{a^3}{Gm}}$

若我们将系统看为整体, 由动量定理, 当且仅当这个整体受到外力时, 系统总动量改变, 因此有

定理 2.9.3: 系统动量定理

对于一个质点系而言, 只有合外力才会导致系统总动量发生变化, 内力不影响系统总动量。

2.9.3 质心系

若我们选取系统的质心为参考点建立参考系, 则我们称此参考系为**质心系** (记为 CM 系⁴)。

定理 2.9.4: 质心系速度

根据前文质心定义 (2.9.1), 对其两端对时间求导, 可得

$$v_{cx} = \frac{\sum m_i v_{ix}}{\sum m_i}, \quad v_{cy} = \frac{\sum m_i v_{iy}}{\sum m_i}$$

在质心系中, 有如下性质

⁴CM 为 Center of Mass 的缩写, 意为 “质心”

定理 2.9.5: 质心系系统动量

在质心系中, 质心速度为 0, 则根据定理 (2.9.1), 系统总动量为 0, 即**质心系下系统的总动量为零**。写成矢量式为

$$\sum m_i \cdot \mathbf{v}_{ci} = 0 \quad (2.7)$$

其中 \mathbf{v}_{ci} 为第 i 个物体在质心系中速度。

2.9.4 质心系动能定理

如果系统只做平动, 系统中质点各个部分的速度完全相同, 则物体可视为质点, 动能当然可以由质心速度来计算。但当系统中质点有相对质心的运动时, 则系统动能应由柯尼希 (König) 定理计算

定理 2.9.6: 柯尼希定理

若系统中有 n 个质点, 质点质量和相对质心速度分别为 $m_1, v_{c1}, m_2, v_{c2} \dots m_n, v_{cn}$, 则体系总动能为

$$E_{tot} = \frac{1}{2} m_{tot} v_c^2 + \sum \frac{1}{2} m_i v_{ci}^2$$

其中 $m_{tot} = \sum m_i$ 为系统总质量, v_c 为质心速度。记 $\frac{1}{2} m_{tot} v_c^2$ 为质心动能, $\sum \frac{1}{2} m_i v_{ci}^2$ 为相对质心动能。即**系统总动能等于质心动能加上其他质点相对质心动能**。

注 2.9.2: 易错提醒

根据柯尼希定理, 由于系统总动能包含相对质心的动能这一项, 故**不可以用质心速度变化来计算动能的变化量**。

柯尼希定理证明如下:

在地面参考系中, 质心速度为 \mathbf{v}_c , 第 i 个相对质心速度为 \mathbf{v}_{ci} , 根据前文速度牵连章节 (2.8.1), 第 i 个质点相对地面速度为

$$\mathbf{v}_i = \mathbf{v}_c + \mathbf{v}_{ci}$$

则总动能

$$\begin{aligned} E_{tot} &= \sum \frac{1}{2} m_i \mathbf{v}_i^2 \leftarrow \mathbf{v}_i^2 = (\mathbf{v}_c + \mathbf{v}_{ci})^2 = \mathbf{v}_c^2 + \mathbf{v}_{ci}^2 + 2\mathbf{v}_c \cdot \mathbf{v}_{ci} \\ &= \sum \frac{1}{2} m_i \mathbf{v}_c^2 + \sum \frac{1}{2} m_i \mathbf{v}_{ci}^2 + \mathbf{v}_c \cdot \sum m_i \mathbf{v}_{ci} \\ &= \frac{1}{2} m_{tot} v_c^2 + \sum \frac{1}{2} m_i v_{ci}^2 \end{aligned}$$

根据定理 (2.9.5), 此项恒等于 0

证毕, QED。

我们可以用此定理很快地得到完全非弹性碰撞损失能量公式。若两球发生完全非弹性碰撞, 记两球质量和初速分别为 m_1, v_1, m_2, v_2 。则根据质心系速度 (2.9.4), 可得

$$v_c = \frac{m_1 v_1 + m_2 v_2}{m_1 + m_2}$$

两球相对质心速度分别为

$$v_{c1} = v_1 - v_c, \quad v_{c2} = v_2 - v_c$$

由于系统动量守恒, 故系统动量保持不变, 质心动量保持不变, 根据 $p^2 = 2mE_k$ 知质心动能保持不变。那么当相对质心速度均为 0 时, 相对质心动能为 0, 此时系统总动能最小, 两球共速 (均为质心速度), 能量损失最大。那么此时损失的能量

$$\begin{aligned} \Delta E &= \frac{1}{2}m_1v_{c1}^2 + \frac{1}{2}m_2v_{c2}^2 \\ &= \frac{1}{2}\mu(v_2 - v_1)^2 \\ &= \frac{1}{2}\mu v_{in}^2 \end{aligned}$$

即完全非弹性碰撞的能量损失公式。故有如下定理

定理 2.9.7: 碰撞中能量损失最大值

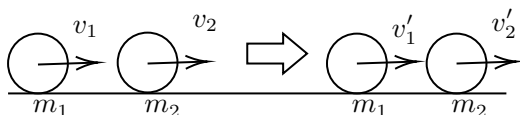
在两物体碰撞中, 当碰撞为完全非弹性碰撞时, 系统能量损失最大, 为

$$\Delta E_{max} = \frac{1}{2}\mu v_{in}^2$$

其中 μ 为约化质量 (2.8.3), v_{in} 为两球相对接近速度。

§2.10 恢复系数

2.10.1 定义与基本性质



对于两个物体的碰撞过程, 假设两物体质量为 m_1 、 m_2 初态时速度分别为 v_1 、 v_2 (以向右为正方向), 末态时为 v_1' 、 v_2'

定义 2.10.1: 恢复系数

记两个物体接近时相对速度 (接近速度) $\Delta v_{in} = v_1 - v_2$, 分离时相对速度 (分离速度) $\Delta v_{out} = v_2' - v_1'$, 则定义恢复系数

$$e = \frac{\Delta v_{out}}{\Delta v_{in}}$$

即恢复系数等于接近速度除以分离速度。

现我们探讨不同情况下的恢复系数:

对于完全非弹性碰撞, 碰撞后两物体共速, 即分离速度 $\Delta v_{out} = 0$, 故此时恢复系数 $e = 0$ 。

对于完全弹性碰撞, 碰撞过程满足能量守恒和动量守恒, 故有

$$\frac{1}{2}m_1v_1^2 + \frac{1}{2}m_2v_2^2 = \frac{1}{2}m_1v_1'^2 + \frac{1}{2}m_2v_2'^2 \quad (2.10a)$$

$$m_1v_1 + m_2v_2 = m_1v_1' + m_2v_2' \quad (2.10b)$$

化简 (2.10a), 移项, 展开, 得

$$m_1(v_1 + v'_1)(v_1 - v'_1) = m_2(v_2 + v'_2)(v'_2 - v_2) \quad (2.11a)$$

将 (2.11a) 除以移项后的 (2.10b), 得 $v_1 + v'_1 = v_2 + v'_2$, 即此时 $e = 1$ 。

定理 2.10.1: 完全弹性碰撞恢复系数

在完全弹性碰撞中, 恢复系数 $e = 1$, 即接近速度等于分离速度

对于非完全弹性碰撞, 可以证明 $0 < e < 1$ 。

综上, 我们可以用恢复系数表征不同碰撞类型, 即:

- 完全非弹性碰撞: $e = 0$
- 非完全弹性碰撞: $0 < e < 1$
- 完全弹性碰撞: $e = 1$

2.10.2 完全弹性碰撞速度关系

对于完全弹性碰撞, 恢复系数 $e = 1$, 即 $v_1 + v'_1 = v_2 + v'_2$, 将其与动量守恒联立 $m_1v_1 + m_2v_2 = m_1v'_1 + m_2v'_2$, 两个方程求解未知数, 故有

定理 2.10.2: 完全弹性碰撞速度关系

对于两个物体的碰撞过程, 假设两物体质量为 m_1 、 m_2 初态时速度分别为 v_1 、 v_2 , 末态时为 v'_1 、 v'_2 , 则有

$$v'_1 = \frac{m_1 - m_2}{m_1 + m_2}v_1 + \frac{2m_2}{m_1 + m_2}v_2 = 2v_c - v_1$$

$$v'_2 = \frac{m_2 - m_1}{m_1 + m_2}v_2 + \frac{2m_1}{m_1 + m_2}v_1 = 2v_c - v_2$$

其中 $v_c = \frac{m_1v_1 + m_2v_2}{m_1 + m_2}$ 为质心速度 (即完全非弹性碰撞后速度)。

2.10.3 恢复系数与能量关系

从前文中我们可以得知, 对于完全弹性碰撞, 恢复系数 $e = 1$, $e = 1$ 与能量守恒方程等价, 可以借此简化完全弹性碰撞的公式推导。这一性质还可以在如下题目中将较复杂的能量计算转换为相对速度的计算, 大大简化计算量。

例 2.10.1: 练习题

两球 A、B 在光滑水平线上沿同一直线, 同一方向运动, $m_A = 1\text{kg}$, $m_B = 2\text{kg}$, $v_A = 6\text{m/s}$, $v_B = 2\text{m/s}$ 。当球 A 追上球 B 并发生碰撞后, 两球 A、B 的速度可能是 (取碰撞前两球运动方向为正)

- A. $v'_A = 5\text{m/s}$, $v'_B = 2.5\text{m/s}$ B. $v'_A = 2\text{m/s}$, $v'_B = 4\text{m/s}$
 C. $v'_A = -4\text{m/s}$, $v'_B = 7\text{m/s}$ D. $v'_A = 7\text{m/s}$, $v'_B = 1.5\text{m/s}$

对于上面四个选项，其动量均为 $10kg \cdot m/s$ ，故只能从能量和两球速度判断。由于碰撞后不可能出现球 A、球 B 速度同向且 A 速度大于 B 速度的情况，故选项 AD 错误。由前文得知，分离速度不大于接近速度。接近速度 $v_{in} = 4m/s$ ，对于 B，分离速度 $v_{out} = 2m/s$ ；对于 C，分离速度 $v_{out} = 11m/s$ ，大于接近速度。故 B 对，C 错。综上，选 B。

更进一步的，我们还可以求出 e 与体系因碰撞损失能量 ΔE 的关系。

$$\Delta E = \frac{1}{2}m_1v_1'^2 + \frac{1}{2}m_2v_2'^2 - \frac{1}{2}m_1v_1^2 - \frac{1}{2}m_2v_2^2 \quad (2.12a)$$

$$0 = m_1v_1' + m_2v_2' - m_1v_1 - m_2v_2 \quad (2.12b)$$

$$e = \frac{v_2' - v_1'}{v_1 - v_2} \quad (2.12c)$$

联立 (2.12)，解得碰撞损失能量 ΔE 与 e 的关系，如下

定理 2.10.3: 恢复系数与损失能量关系

碰撞损失能量 ΔE 与 e 满足如下关系

$$\Delta E = (1 - e^2) \cdot \frac{1}{2}\mu v_{in}^2 = (1 - e^2)\Delta E_{max}$$

其中 μ 为前文中的约化质量 (2.8.3)，接近速度 $v_{in} = v_2 - v_1$

注 2.10.1: 思考

此定理可以使用质心动能定理简便证明，试用质心动能定理证明该定理。

这个定理可以应用在如下模型之中

例 2.10.2: 自编题

现有一质量为 $M = 0.9kg$ 的物体静止在光滑水平面上，一质量为 $m = 0.1kg$ 的子弹以速度 $v = 100m/s$ 打穿木块（忽略重力对子弹轨迹的偏移），穿出木块后木块速度为 $v_M = 1m/s$ ，试求子弹穿出木块后子弹速度 v_m 及整个系统发热 Q

先用动量守恒求出 v_m ：

$$mv = mv_m + Mv_M$$

解的 $v_m = 91m/s$ 。分离速度 $v_{out} = 91 - 1 = 90m/s$ ，接近速度 $v_{in} = 100m/s$ 因此 $e = \frac{90}{100} = 0.9$ ，套用结论，得

$$\Delta E = (1 - 0.9^2) \cdot \frac{1}{2} \frac{0.9 \times 0.1}{0.9 + 0.1} \cdot 100^2 = 85.5J$$

当然，以上模型还可以扩展到其他情况，如对于穿出过程中子弹得到加速，系统总机械能增加的情况，此时按照结论计算得到的 ΔE 为负值，即损失了负数的能量，即其绝对值为系统总机械能增加值。但此情况出现很少，在此不再叙述。

§2.11 反冲运动能量变化

设在地面系中，有两个物体 A 和 B ，质量分别为 m_A 、 m_B ，开始时两物体粘连在一起在地面保持静止。在某一时时刻， A 、 B 之间的炸药爆炸，将 A 、 B 炸分离。炸药释放的能量为 ΔE 。根据动量守恒，分离后 A 、 B 的动量相同，记为 Δp 。则由能量守恒分别有：

$$\Delta E = \frac{\Delta p^2}{2m_A} + \frac{\Delta p^2}{2m_B}$$

根据前文定义，记 $\mu = \frac{m_A m_B}{m_A + m_B}$ 为约化质量 (2.8.3)，因此上式可化简为

$$\Delta p^2 = 2\mu\Delta E$$

上面的式子可以推广到更广泛的情况。设在地面系中，有两个物体 A 和 B ，质量分别为 m_A 、 m_B ，开始时两物体粘连在一起，以速度 v_0 共同运动。在某一时时刻， A 、 B 之间的炸药爆炸，将 A 、 B 炸分离。炸药释放的能量为 ΔE 。设分离后物体 A 、 B 的速度为 v_A 、 v_B 。由于动量守恒可得 A 、 B 动量改变量相同，记为 Δp 。故

$$\Delta p = m_A(v_0 - v_A) = m_B(v_B - v_0)$$

$$(v_0 - v_A)^2 = \frac{\Delta p^2}{m_A^2}, \quad (v_B - v_0)^2 = \frac{\Delta p^2}{m_B^2}$$

由前文柯尼希定理 (2.9.6) 可知，爆炸前由于两物体均没有相对质心运动，故系统动能为

$$E = \frac{1}{2}(m_A + m_B)v_0^2$$

爆炸后系统动能为

$$E' = \frac{1}{2}(m_A + m_B)v_0^2 + \frac{1}{2}m_A(v_0 - v_A)^2 + \frac{1}{2}m_B(v_B - v_0)^2$$

故

$$\Delta E = E' - E = \frac{1}{2}m_A(v_0 - v_A)^2 + \frac{1}{2}m_B(v_B - v_0)^2$$

将前文式子带入上式，化简，记 $\mu = \frac{m_A m_B}{m_A + m_B}$ 为约化质量 (2.8.3)，得

$$\Delta p^2 = 2\mu\Delta E$$

定理 2.11.1: 反冲运动能量变化

若有两个物体 A 和 B ，质量分别为 m_A 、 m_B ，**初始时两物体共速**，之后由于其他形式能量转化两物体分离，能量增加为 ΔE ，则两物体动量改变量 Δp 满足

$$\Delta p^2 = 2\mu\Delta E$$

其中 $\mu = \frac{m_A m_B}{m_A + m_B}$ 为约化质量 (2.8.3)。

注 2.11.1: 思考

此定理一个重要的前提是初始时两物体共速。试假设初始时两物体不共速，尝试按照上述步骤进行推导，并说明若初始时两物体不共速时此定理不成立的原因。

Chapter 3

电磁学

注 3.0.1: 本章符号约定

在电学中, 能量, 电场, 电势能, 电动势在高中课本中均用符号 E 来表示, 在遇到综合性问题时可能会出现混淆, 在未说明的情况下, 按照如下符号规则进行区分:

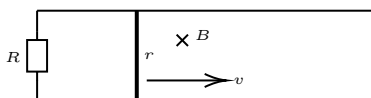
- 能量使用符号 E_{k0} 来表示, 英文下标代表能量类型 (k 为动能, p 为势能等), 以数学作为下标区分不同量
- 电场使用符号 E_a 来表示, 以单独的小写英文作为下标
- 电势能使用 $q\Delta\varphi$ 或者 E_{p0} 来表示 (势能只有电势能时)
- 电动势使用英文 E 的花体 \mathcal{E} 表示^a

^a此处电动势作此约定一方面为了便于区分, 另一方面为了跟大学教材的符号约定相同

§3.1 杆切割磁场若干二级结论

此章节中二级结论比较基础且经常用到, 在此仅给出简略的证明过程供记忆和查询使用, 在此不做过多介绍。

3.1.1 不涉及电容



如图所示, 杆长为 L , 电阻为 r , 两根导轨电阻不计, 中间用电阻 R 连接, 磁场强度为 B 。记 $R_{tot} = R + r$ 为回路总电阻。

通过杆截面电荷量与杆动量变化关系

由 $F = BIL$ 两端同乘 Δt 可得安培力对杆的动量改变量¹ 为 $\Delta p = F\Delta t = BIL\Delta t = BLq$ 即

$$\boxed{\Delta p = BLq} \quad (3.1)$$

注 3.1.1: 易错提醒

在使用 $q = I\Delta t$ 时, 若电流 I 并非恒定不变, 则 I 要取关于时间 t 的平均值 (不是有效值) \bar{I} 。

这里需要对平均值跟有效值进行区分:

- 平均值是电流 I 关于时间 t 的平均值 \bar{I}

¹其实就是安培力对杆的冲量, 但冲量符号 I 会与电流混淆, 故在此用动量改变量描述

- **有效值**是**电流的平方** I^2 关于时间 t 的平均值 $\overline{I^2}$

这里需要注意，一般情况下， $(\bar{I})^2 \neq \overline{I^2}$ ，即**电流平均值的平方不等于电流平方的平均值**。

在高中物理中，平均值在力学，电磁学等都具有非常广泛的运用，对于一个平均值，我们必须清楚地知道它是什么对什么（ x 还是 t ）的平均值。切记不可将不同的平均值混为一谈。

回路中磁通量变化与回路电荷变化关系

由 $\mathcal{E} = \frac{\Delta\Phi}{\Delta t}$ 跟 $I = \frac{\mathcal{E}}{R_{tot}}$ 可得

$$I = \frac{\Delta\Phi}{R_{tot}\Delta t}$$

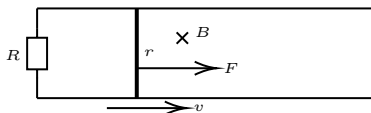
两端同乘 Δt ，有 $q = I\Delta t = \frac{\Delta\Phi}{R_{tot}}$ ，即

$$\Delta q = \frac{\Delta\Phi}{R_{tot}} \quad (3.2)$$

若回路是线圈之类的存在 n 匝，则

$$\Delta q = \frac{n\Delta\Phi}{R_{tot}} \quad (3.3)$$

杆受到外力且达到平衡时外力与杆速度关系



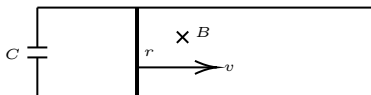
如图所示，杆长为 L ，电阻为 r ，两根导轨电阻不计，中间用电阻 R 连接，磁场强度为 B ，杆受到大小为 F 的外力。记 $R_{tot} = R + r$ 为回路总电阻。

由 $\mathcal{E} = BLv$ 跟 $\mathcal{E} = IR_{tot}$ 得 $I = \frac{BLv}{R_{tot}}$ ，由受力平衡有 $F = BIL = \frac{B^2 L^2 v}{R_{tot}}$ ，即

$$F = \frac{B^2 L^2 v}{R_{tot}} \quad (3.4)$$

3.1.2 涉及电容

电容所带电荷与电磁驱动的杆的最大速度



如图所示，杆长为 L ，电阻为 r ，两根导轨电阻不计，杆初速为 0，中间用电容 C 连接，初始时带有电荷量 Q_0 ，磁场强度为 B ，设某时刻杆的速度为 v 。

对于电容，有 $Q = CU$ ，其中 U 为电容两端电压。当杆达到末速 v_{max} 时，杆切割磁场产生的电动势与电容两端电压相同，即 $E = U$ 故

$$E = Blv_{max} = \frac{Q}{C} = U$$

从静止初态到 v_{max} 的末态流经过杆的电荷 $\Delta q = Q_0 - Q$ 。

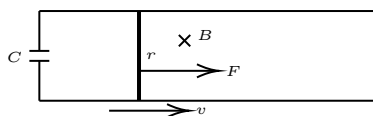
由前文 (3.2) 可得 $mv_{max} = Bl\Delta q$ ，故有

$$\begin{aligned} Blv_{max} &= \frac{Q}{C} \\ \Delta q &= Q_0 - Q \\ mv_{max} &= Bl\Delta q \end{aligned} \quad (3.5)$$

联立 (3.5)，解得

$$v_{max} = \frac{BLQ_0}{m + CB^2L^2} \quad (3.6)$$

有电容时受外力杆加速度



如图所示，杆长为 L ，电阻为 r ，两根导轨电阻不计，杆受到外力为 F ，中间用电容 C 连接，初始时所带有电荷量为 0，磁场强度为 B ，设某时刻杆的速度为 v ，加速度为 a 。

取一个某时刻后微小时间 Δt ，则有

$$I = \frac{\Delta Q}{\Delta t} = C \frac{\Delta U}{\Delta t} = CBL \frac{\Delta v}{\Delta t} = CBLa$$

由受力分析得

$$F - BIL = ma$$

联立上面两式，解得

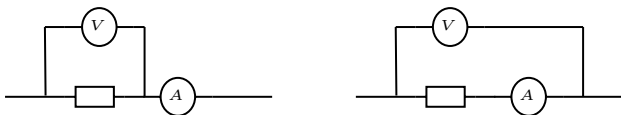
$$a = \frac{F}{m + CB^2L^2} \quad (3.7)$$

§3.2 “大内偏大，小外偏小”

3.2.1 含义

高中物理中测电阻或者电源内阻时判断电表内外接时常会教如下口诀“大内偏大，小外偏小”（有时也简化为“内大大，外小小”），其含义如下所示：

定理 3.2.1: “大内偏大, 小外偏小”

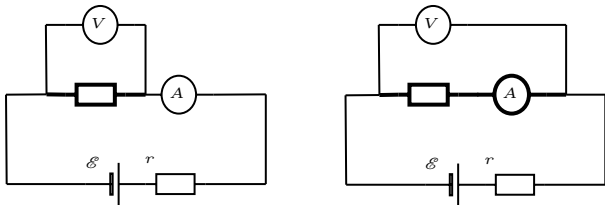


首先我们先定义“内外接”。如图所示，电流表在被测元件与电压表回路之外，称为“外接”（左图），电流表在被测元件与电压表回路之内，称为“内接”（右图）。

记待测元件阻值为 R_x ，电压表内阻为 R_V ，电流表内阻为 R_A 。若 $R_x > \sqrt{R_V R_A}$ （即“大电阻”），则使用“内接”，测量值比准确值偏大。若 $R_x < \sqrt{R_V R_A}$ （即“小电阻”），则使用“外接”，测量值比准确值偏小。

注 3.2.1: 易错提醒

这里对于内外接判断需要注意电流表内外接与否取决于是否在被测元件与电压表回路之内，对于测量电动势内阻，内外接的概念可能会有偏差，如下：



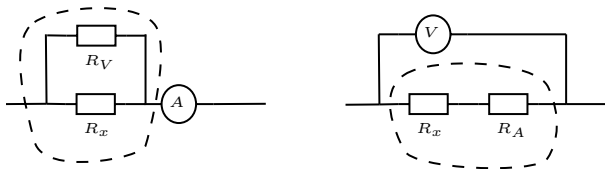
由于我们这里要测量的值为电动势内阻，故在被测元件与电压表回路之外的电路为图中粗线所示，因此在测量电动势时，左图为“内接”，右图为“外接”。

3.2.2 证明

“大内偏大, 小外偏小”大多资料书并不会对此做解释和证明，只是填鸭子式蒙混过关。下面我们给出此定理的详细证明。

“内接偏大、外接偏小”证明

对于“内接测量电阻偏大, 外接测量电阻偏小”的证明，一个比较方便的方法是用等效电阻判断。我们可以认为电表就是一个可以显示其电压或电流的电阻，因此对于内接法和外接法，我们可以分别画出如下示意图（左图为外接法，右图为内接法）



上图中，我们可以将在内测的电阻等效为一个电阻（如图中虚线所示），该电阻为实际上测量得出的电阻，即电路实际上测量的是虚线内等效的电阻阻值。因此，设待测电阻阻值为 R_x ，电压表内阻 R_V ，电流表内阻 R_A ，内接法测量的阻值为 R_{in} ，外接法测量的阻值为 R_{out} ，则

$$R_{out} = \frac{R_V R_x}{R_V + R_x} < R_x, \quad R_{in} = R_A + R_x > R_x \quad (3.8)$$

即“内接偏大、外接偏小”，QED。

“大电阻选内接、小电阻选外接”证明

由前文可知内接时内阻测量偏大、外接内阻测量偏小。记 ΔR_{in} 为内接时测量值与准确值偏差。 ΔR_{out} 为外接时测量值与准确值偏差。因此

$$\Delta R_{in} = R_A + R_x - R_x = R_A, \quad \Delta R_{out} = R_x - \frac{R_x R_V}{R_x + R_V} = \frac{R_x^2}{R_x + R_V}$$

由此我们可以看出，当 R_x 越大时，易证明 ΔR_{out} 单调递增，因此当 $\Delta R_{out} > \Delta R_{in}$ 时，即电阻足够大时，内接偏差小，选择内接；当 $\Delta R_{out} < \Delta R_{in}$ 时，即电阻足够小时，外接偏差小，选择外接，即“大电阻选内接、小电阻选外接”，QED。

大电阻、小电阻判断标准

现在我们计算大小电阻的判断标准。易知当 $\Delta R_{in} = \Delta R_{out}$ 时的 R_x 为大小电阻分界线，故

$$R_A = \frac{R_x^2}{R_x + R_V}$$

$$\frac{R_x^2}{R_V} = R_A + R_x \frac{R_A}{R_V}$$

这里有一个近似，一般而言电流表内阻 R_A 远小于电压表内阻 R_V ，故 $\frac{R_A}{R_V}$ 约等于 0，这一项舍掉，故

$$\boxed{R_x = \sqrt{R_A R_V}} \quad (3.9)$$

因此，若 $R_x > \sqrt{R_A R_V}$ ，我们认为其为大电阻，选内接；若 $R_x < \sqrt{R_A R_V}$ ，我们认为其为小电阻，选外接；若 $R_x = \sqrt{R_A R_V}$ ，内外接均可（虽然一般不会出现这种情况）。

注 3.2.2: 易错提醒

“大内偏大，小外偏小”一般用于在两个电表均未知其准确内阻时使用，或在两个电表均已知其准确内阻时使用^a。若有一个电表准确内阻已知另一个未知，则可不遵循“大内偏大、小外偏小”的原则选择内外接，而是将精确的电表放“外侧”，在之后的计算中通过已知的准确内阻消除电表内阻的影响。对于不同的习题，应灵活运用。

^a此时内外接其实均可，内外接都可以给分，但习题答案一般仍旧遵循“大内偏大，小外偏小”的原则给出解析

又有“大内偏大，小外偏小”定理几乎在任意一道电学实验题均可运用，且老师讲题时以及答案一般会运用此方法给出详解。故在此不再给出例题。

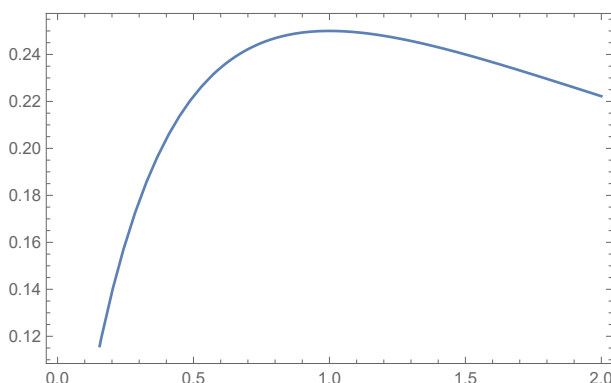
§3.3 电源输出功率性质

现有一个电动势为 \mathcal{E} 、内阻为 r 的电源，跟一个电阻为 R 的可变电阻串联，现推导电源输出功率与电阻阻值关系。

$$I = \frac{\mathcal{E}}{r + R}$$

$$P = I^2 R = \frac{\mathcal{E}^2 R}{(r + R)^2}$$

上面 $P = \frac{\mathcal{E}^2 R}{(r+R)^2}$ 中 P 关于 R 的函数图像如下图所示 (取 $\mathcal{E} = 1$ 、 $r = 1$)



可见存在 R , 使得 P 取得最大值。对 $P = \frac{\mathcal{E}^2 R}{(r+R)^2}$ 求导, 得

$$P'(R) = \frac{\mathcal{E}^2}{(r+R)^2} - \frac{2R\mathcal{E}^2}{(r+R)^3} = \frac{\mathcal{E}^2(r-R)}{(r+R)^3}$$

可见, 当 $R = r$ 时, $P' = 0$, 此时 P 最大。由图可知, R 越接近 r , 电源输出功率 P 越大。并且, 若 P 已知, 我们可以从 P 中反解出功率相同的两个 R 的关系, 化简得到

$$PR^2 + (2rP - \mathcal{E}^2)R + Pr^2 = 0$$

由韦达 (Vieta) 定理: R 的两根满足 $R_1 R_2 = r^2$, 即 $r = \sqrt{R_1 R_2}$, 故

定理 3.3.1: 电源输出功率性质

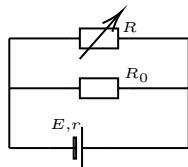
当外电路总电阻 R 等于电源内阻 r 时, 电源输出功率最大;

外电路总电阻 R 越接近电源内阻 r , 电源输出功率越大;

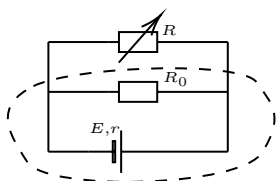
若两个不同的外电路总电阻对应同一电源输出功率, 则这两个外电路总电阻满足 $r = \sqrt{R_1 R_2}$ 。

运用此定理, 结合后文的等效源 (3.4), 我们可以很快地求出变化电阻的功率最大问题。

例 3.3.1: 练习题 (有删减)



如图所示, 电源电动势 $E = 2V$, 内阻 $r = 1\Omega$, 电阻 $R_0 = 2\Omega$, 可变电阻 R 可从 0Ω 到 10Ω 内任意调节。问当可变电阻 R 等于多少时, R 上消耗功率最大, 并求出最大消耗功率。



如图所示, 根据后文等效源原理 (3.4), 运用等效电压源定理 (3.4.2), 将虚线内电路等效成新的带有内阻的电源, 记 $\mathcal{E} = E$, 则有

$$\mathcal{E}' = \frac{\mathcal{E} R_0}{R_0 + r} = \frac{4}{3}V, \quad r' = \frac{R_0 r}{R_0 + r} = \frac{2}{3}\Omega$$

根据前文电源输出功率性质的讨论, 可知, 当 $R = \frac{2}{3}\Omega$ 时, 其功率最大。故最大功率值为

$$P_{max} = \frac{(\mathcal{E}'/2)^2}{r'} = \frac{2}{3}W$$

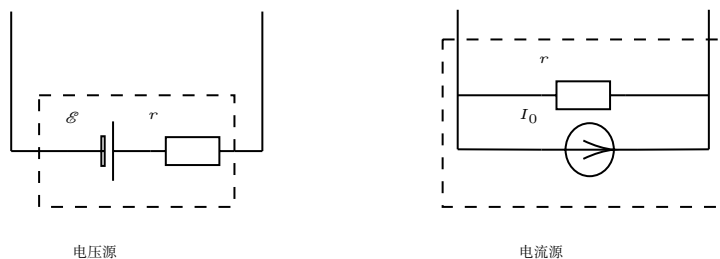
§3.4 等效源

3.4.1 电压源与电流源

在高中中, 一个没有电阻的理想电源, 其输出电压不随着外电路改变而改变, 始终保持一个恒定值, 我们称此理想电源为理想电压源。

同样的, 根据如上进行类比, 若有这么一个理想电源, 其输出的电流输出电压不随着外电路改变而改变, 始终保持一个恒定值, 我们称此理想电源为理想电流源。

但在现实生活中, 由于电源存在内阻, 其输出电压或者电流会随着外电路变化而变化, 故不存在完全理想的电源。此时我们可以将理想电压源串联一个电阻组成包含内阻的电压源, 将理想电流源并联一个电阻组成包含内阻的电流源, 即对于包含内阻的电压源与电流源, 其等效的电路图如下图所示



电压源中 \mathcal{E} 为电源电动势, r 为电源内阻; 电流源中 I_0 为理想电流源恒定输出电流, r 为电源内阻。

注 3.4.1: 符号约定

在本章中, 为了突出内阻, 如无说明, 则电源内阻会在电源外画出, 即将电源电动势和内阻分开绘画

3.4.2 电压源与电流源间关系

电压源与电流源可以相互转化替代, 记电压源电动势为 \mathcal{E} , 内阻为 $r_{\mathcal{E}}$, 电流源中理想电流源输出电流 I_0 , 内阻 r_I 现粗略推导两个相互等效的电压源与电流源间关系:

- 当两个电源短路时, 由短路电流相等得 $\frac{\mathcal{E}}{r_{\mathcal{E}}} = I_0$
- 当两个电源开路时, 由开路电压相等得 $I_0 r_I = \mathcal{E}$

由上面两个式子联立²，解得 $r = r_{\mathcal{E}} = r_I$ 、 $\mathcal{E} = I_0 r$ ，故有

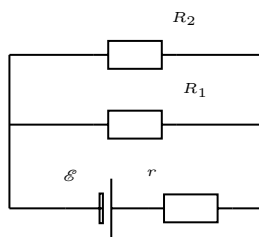
定理 3.4.1: 电压源与电流源间关系

对于两个相互等效的电压源和电流源，满足

$$r = r_{\mathcal{E}} = r_I, \quad \mathcal{E} = I_0 r$$

3.4.3 戴维宁定理与诺顿定理

对于一个复杂的电路网络，我们总可以将某个电阻或者某段电路外的其他电路等效为一个电压源或电流源。现取如下电路：



如果我们想将除了 R_2 外的电路等效为一个电压源，则我们可以使用戴维宁³ (Thevenin) 定理 (又称等效电压源定理)

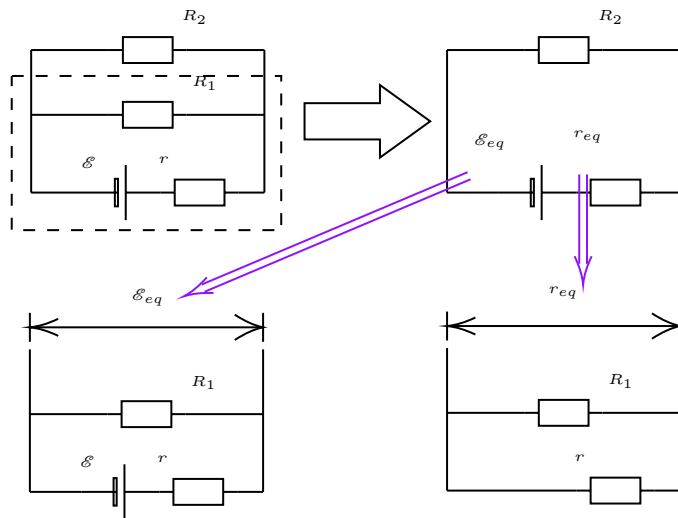
定理 3.4.2: 戴维宁定理

对于一个二端有源电路网络，若电路中只有线性元件^a，则我们可以将其等效为一个电压源，其等效电动势等于两端的开路电压，等效内阻等于去除电动势后两端的电阻。

这里“二端有源电路网络”中所指的“网络”泛指电路中其中一部分，“有源”指这部分电路中包含电源，“二端”指这段电路只有两个端口。对于下面的诺顿定理同理。

^a这里线性元件一般指纯电阻，或稳定交流电下的电容和电感（他们在交流电下具有容抗和感抗，可等效为电阻（不考虑相位变化情况下），但在高中一般不要求分析具有容抗和感抗的交流电路，故一般情况下只需考虑纯电阻，对于下文诺顿定理同理

对于上面的电路，以下标 eq⁴ 代表等效的值，根据戴维南定理有



²这便是在绘制电压源和电流源内部等效示意图时不区分电压源电流源内阻统一用 r 的原因

³有些教材又称其为戴维南定理

⁴equivalent 的简写

$$\mathcal{E}_{eq} = \frac{\mathcal{E} R_1}{r + R_1}$$

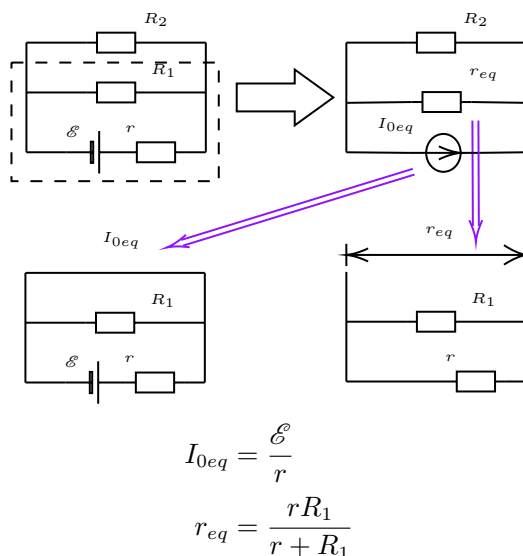
$$r_{eq} = \frac{r R_1}{r + R_1}$$

同理，如果我们想将除了 R_2 外的电路等效为一个电压源，则我们可以使用诺顿（Norton）定理（又称等效电流源定理）

定理 3.4.3: 诺顿定理

对于一个二端有源电路网络，若电路中只有线性元件，则我们可以将其等效为一个电流源，其等效理想电流源电流等于两端短路时电流，等效内阻等于去除电动势后两端的电阻。

对于上面的电路，以下标 eq 代表等效的值，根据诺顿定理有



注 3.4.2: 思考

试运用前文提到的电压源与电流源间关系 (3.4.2) 证明戴维宁定理跟诺顿定理的等效性。

在高考中，戴维宁定理可以帮助我们快速分析出电学实验题中的误差，而诺顿定理在高考中运用的较少，但为了论述的完整，故仍旧介绍了诺顿定理。一般而言能够熟练运用戴维宁定理即可。

3.4.4 等效源在电路分析中作用

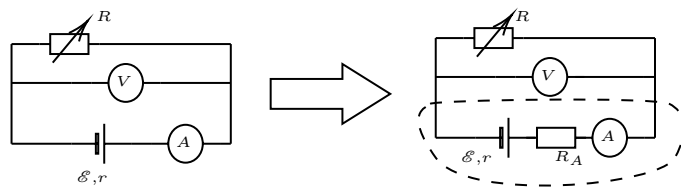
在对闭合电路的一些具体问题的分析之中，运用等效源，通过将电源与电路中的某一部分看为一个整体，将其等效为一个新的电源，可使问题的分析变得清晰，求解过程变得简单。

例 3.4.1: 自编题

试分别分析测量电池电动势时内接法和外接法测量值与实际值偏大还是偏小？

由于电表存在内阻，我们可以认为电表就是一个可以显示其电压或电流的电阻，将其分为理想电表和内阻的串并联。由此易知，对于电压表，其可等效为内阻与理想电压表并联；对于电流表，其可等效为内阻与理想电流表串联。

对于内接法，我们将影响测量的内侧的电流表进行等效，其电路图以及等效电路图如图所示：

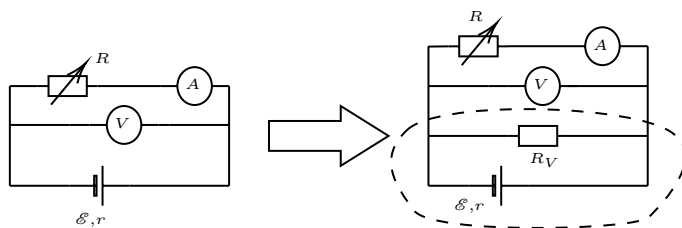


将电源及其内阻和电流表内阻等效成新电源，则根据戴维宁定理 (3.4.2)，新电源电动势及内阻为

$$\mathcal{E}' = \mathcal{E}, \quad r' = r + R_A$$

因此**电动势测量值与真实值相等，内阻测量值比真实值偏大。**

同理，对于外界法，我们将影响测量的内侧的电压表进行等效，其电路图及等效电路图如图所示



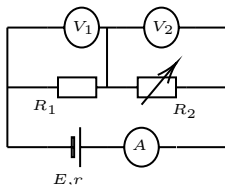
将电源及其内阻和电压表内阻等效成新电源，则根据戴维宁定理 (3.4.2)，新电源电动势及内阻为

$$\mathcal{E}' = \frac{\mathcal{E} R_V}{R_V + r}, \quad r' = \frac{r R_V}{r + R_V}$$

因此**电动势测量值比真实值偏小，内阻测量值比真实值偏小。**

对于选择题，若遇到 $\frac{\Delta U}{\Delta I}$ 且其对应的电阻正在变化，则一般情况下可以使用等效源进行等效，其 $\frac{\Delta U}{\Delta I}$ 等于新内阻。具体可见如下例题。

例 3.4.2: 练习题



如图所示的电路中，各电表为理想电表，电源内阻不能忽略，当可变电阻 R_2 减小了 ΔR 过程中，设 V_1 、 V_2 、 A 的读数分别是 U_1 、 U_2 、 I ； V_1 、 V_2 、 A 的读数的变化量分别为 ΔU_1 、 ΔU_2 、 ΔI ，则下列说法正确的是 ()

- (A) U_2 与 I 的比值减小， U_2 与 I 的乘积也一定减小
- (B) U_1 与 I 的比值不变， U_1 与 I 的乘积也一定不变
- (C) ΔU_2 与 ΔI 的比值等于 ΔU_1 与 ΔI 的比值

(D) ΔU_1 与 ΔI 的比值等于任何时刻 U_1 与 I 的比值

R_2 变小, 根据“串反并同”(见下一章 (3.5)) 知, U_1 增大, U_2 减小, I 增大, 故 U_1 与 I 乘积不为定值。选项 B 错误。

将除了 R_2 外其他部分等效成新电源, 则新电源 $\mathcal{E}' = \mathcal{E} = E$ 、 $r' = r + R_1$ 。由电源输出功率性质 (3.3) 知, R_2 越接近 $r + R_1$, 其功率越大。但题中并未知道初始时 R_2 阻值与 $r + R_1$ 关系, 故无从判断 $U_2 I$ 的变化趋势, 故选项 A 错误。

根据上面电路等效知, U_2 相当于测等效后电源路端电压, I 相当于测电路电流, 故 $\frac{\Delta U_2}{\Delta I} = r + R_1$, 而 $\frac{\Delta U_1}{\Delta I} = R_1$, 故选项 C 错误。

$\frac{U_1}{I} = \frac{\Delta U_1}{\Delta I} = R_1$, R_1 为定值, 故选项 D 正确。综上所述, 答案为 D。

§3.5 “串反并同”及“广义串并联”判断

在电路分析中有这样一条实用的定理

定理 3.5.1: “串反并同”

在电源内阻不可忽略的情况下, 若只有单个电阻变化, 则与该电阻广义串联的电阻或电表 (电表本质上也是内阻, 不过可以显示电学值而已), 其电压、电流、功率的变化与电阻的变化相反, 即“串反”; 与该电阻广义并联的电阻或电表, 其电压、电流、功率的变化与电阻的变化相同, 即“并同”

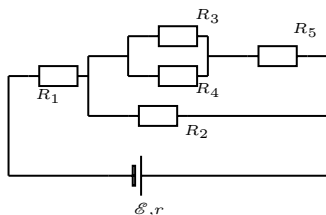
这里需要对所谓的“广义串联”以及“广义并联”进行定义和解释说明。

定义 3.5.1: “广义串联”和“广义并联”

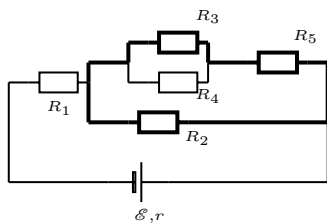
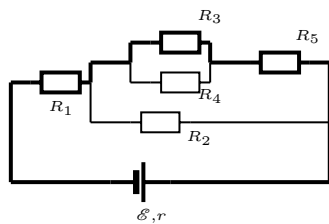
电路中若经过电阻 A 的电流在一个完整回路内可以流过电阻 B, 则这两电阻为等效串联。

电路中若经过电阻 A 的电流在一个完整回路内不可能流过电阻 B, 则这两电阻为等效并联。

上面的定理可能有些抽象, 下面有一种可操作的方法, 并不完全严谨, 但在高中阶段绝大部分可用。

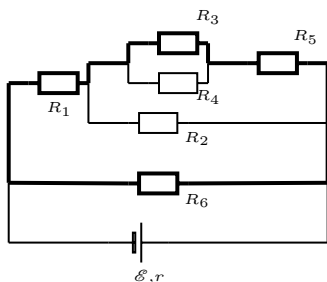
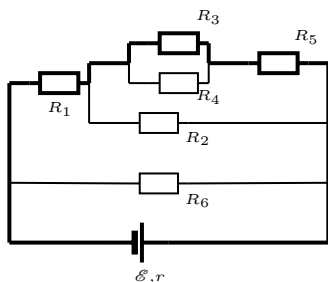


如图所示, 现有一如上较复杂的电路, 对于 R_1 和 R_5 , 我们可以用一个经过电源的回路将这两个电阻相连, 若连接此两电阻可以经过电源, 我们认为其为等效串联, 如下左图所示。



对于 R_2 和 R_5 ，我们不可能用一个经过电源的回路将这两个电阻相连，若连接此两电阻不可以经过电源，我们认为其为等效并联，如上右图所示。⁵

如果对于两个电阻，有多种回路将这两个电阻相连，如下图所示，对于 R_1 和 R_5 ，可以绘出如下两个回路将两个电阻相连，其中一个经过电源，另一个不经过电源。对于这个情况，只要有一个回路经过了电源，那么就可以认为其为广义串联。



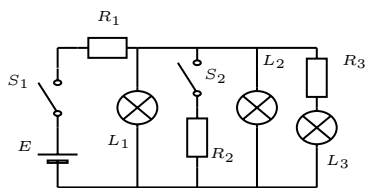
这里需要注意，串反并同存在使用条件，如下

注 3.5.1: 易错提醒

当且仅当电源存在内阻以及只有单个电阻变化时，才可以运用“串反并同”。

当然，根据前文戴维宁定理 (3.4.2)，可以通过将不存在内阻的理想电压源跟外电路的电阻等效成具有内阻的电源而使用串反并同，具体可见如下例题。

例 3.5.1: 2009 · 广东



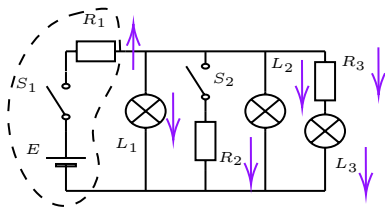
如图所示，电动势为 E 、内阻不计的电源与三个灯泡和三个电阻相接，只合上开关 S_1 ，三个灯泡都能正常工作，如果再合上 S_2 ，则下列表述正确的是 ()

- (A) 电源输出功率减小
- (B) L_1 上消耗的功率增大
- (C) 通过 R_1 上的电流增大
- (D) 通过 R_3 上的电流增大

⁵这里对于如电桥类问题并不适用，因为随着电桥某一桥臂电阻的改变，其经过中间的电阻的电流方向会发生改变，从而改变其等效串并联关系。在此情况下只能根据前文“广义串并联”的定义 (3.5.1) 分情况进行判断。

闭合 S_2 ，可以认为 S_2 所在支路电阻由无穷大变为 R_2 ，电路总电阻 R_{tot} 变小。注意到电源内阻不计，故输出功率 $P = \frac{\mathcal{E}^2}{R_{tot}}$ 变大 ($\mathcal{E} = E$ ，下同)，A 错误。

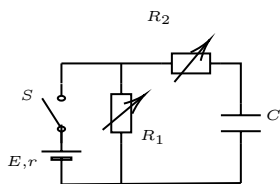
虽然电源内阻不计，但我们可以运用等效源 (3.4)，将电动势 \mathcal{E} 与 R_1 等效成一个电动势为 \mathcal{E} ，内阻为 R_1 的内阻，从而满足“串反并同”使用条件。



如图，当 S_2 所在支路电阻减小时，其各部分电压、电流变化根据“串反并同”如图所示。因此 B、D 错误，C 正确。综上所述，答案为 C。

涉及到与电容器有关的电路问题时，我们可以把电容器当成一个理想的电压表，从而使用“串反并同”。但需注意，电容器本质上是断路（在直流电路中），因此跟电容器处在同一支路中串联的电阻改变并不影响电容器两端电压！具体可见如下例题。

例 3.5.2: 2014 · 天津



如图所示，电路中 R_1 、 R_2 均为可变电阻，电源内阻不能忽略。平行板电容器 C 的极板水平放置。闭合电键 S ，电路达到稳定时，带电油滴悬浮在两板之间静止不动。如果仅改变下列某一个条件，油滴仍能静止不动的是 ()

- (A) 增大 R_1 的阻值 (B) 增大 R_2 的阻值 (C) 增大两板间的距离 (D) 断开电键 S

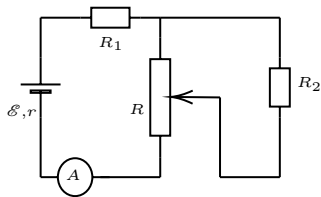
电阻 R_1 与电容 C 等效并联，增大 R_1 ，则 C 两端电压增大，无法保持静止不动，选项 A 错误。电阻 R_2 与电容 C 在同一条支路上串联，故 R_2 的变化不影响电容 C 两端电压，选项 B 正确。增大两板间距离，两板间电压不变，增大距离，电场减弱，无法保持静止不动，选项 C 错误。断开 S ，电容两端形成回路放电，无法保持静止不动，选项 D 错误。综上所述，答案为 B。

这里需要注意，对于分压接法的滑动电阻器，分析滑动电阻器的移动时不可直接使用“串反并同”，我们可以将滑动变阻器分成两部分，其中一部分与子电路并联，另一部分与前面并联的部分串联，当移动滑动变阻器时，其并联的电阻跟串联的电阻均发生了变化，存在多个电阻变化，违反了“串反并同”的适用条件，故不可直接使用“串反并同”。但我们可以借助戴维宁定理 (3.4.2) 对子电路进行分析，从而把两个回路建立联系，绕过滑动变阻器进行分析。

当然，我们可以将滑动变阻器及其整个子电路等效成一个电阻，从而使用“串反并同”。我们可以把滑动变阻器分成串联部分和并联部分，若有且只有滑动变阻器发生了变化，则滑动变阻器以及整个子电路电阻变化跟串联电阻相同。

具体操作见下面例题。

例 3.5.3: 自编题



如图所示电路，内阻不可忽略。现将滑动变阻器 R 的滑片下移，试分析 R_1 、 R_2 两端电压以及电流表 A 的示数 I_A 变化。

滑片下移， R 分出的电压更大，即对于子电路而言，电阻 R_2 两端电压增加，电流增加。故通过滑动变阻器 R 的电流增加，滑动变阻器以及子电路等效的电阻减小。由串反并同知 R_1 两端电压增大，电流表 A 示数变大。

当然，由于只有滑动变阻器发生了改变，滑片下移， R 分出的电压更大，即对于子电路而言，电阻 R_2 两端电压增加，电流增加。滑片下移，其串联部分电阻减小，滑动变阻器以及子电路电阻减小，由串反并同知 R_1 两端电压增大，电流表 A 示数变大。

§3.6 变压器等效

对于变压器问题，一般的方法是对变压器两端列电压方程，再在两个回路中列电学方程，联立求解，这种方法一般会涉及到较多方程的联立，对于选择题等分析判断并不方便，并且有时也不利于运用上文的“串反并同” (3.5)。因此，可以通过变压器等效，将其中一个回路等效到另一个回路，从而将一个涉及变压器的双回路问题简化为单回路问题，从而便于运用“串反并同”，简化分析过程，加快计算。

注 3.6.1: 符号约定

对于本章节，以下标 L 代表左边的回路的物理量，下标 R 代表右边的回路的物理量。推导出的结论均把下标为 L 的物理量放等号左边，下标为 R 的物理量放右边，这样记忆时只需记忆是正比还是反比即可，更方便。

在下文中，我们将电动势所在的回路上的线圈称为“主线圈”，其回路为“主线圈所在回路”。反之将另一个回路上的线圈称为“从线圈”，其所在回路为“从线圈所在回路”。

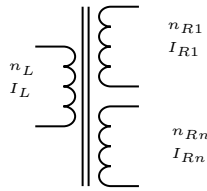
3.6.1 变压器电流关系

对于理想变压器，我们有如下关系

$$\frac{U_L}{n_L} = \frac{U_R}{n_R}, \quad P_L = U_L I_L = U_R I_R = P_R$$

两式相除，得

$$\boxed{n_L I_L = n_R I_R} \quad (3.13)$$



同理，若存在多个副线圈（如上图），以下标 $R1, R2, \dots, Rn$ 表示右侧不同副线圈物理量，则

$$\frac{U_L}{n_L} = \frac{U_{R1}}{n_{R1}} = \dots = \frac{U_{Rn}}{n_{Rn}} \quad (3.14a)$$

$$P_L = U_L I_L = U_{R1} I_{R1} + \dots + U_{Rn} I_{Rn} = \sum U_{Ri} I_{Ri} = \sum P_{Ri} \quad (3.14b)$$

用 (3.14a) 带入 (3.14b)，化简得

$$n_L I_L = n_{R1} I_{R1} + \dots + n_{Rn} I_{Rn} = \sum n_{Ri} I_{Ri} \quad (3.15)$$

(3.13)、(3.15) 即为变压器电流关系。

3.6.2 变压器等效电阻

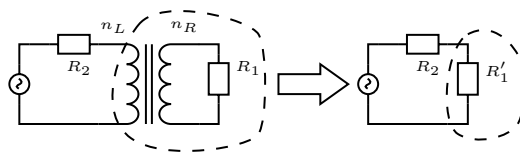
将变压器电压关系 $\frac{U_L}{n_L} = \frac{U_R}{n_R}$ 与电流关系 (3.13) 相除，可得

$$\frac{n_L^2}{R_L} = \frac{n_R^2}{R_R} \quad (3.16)$$

同理，对于多个副线圈的情况，可得

$$\frac{n_L^2}{R_L} = \frac{n_{R1}^2}{R_{R1}} + \dots + \frac{n_{Rn}^2}{R_{Rn}} = \sum \frac{n_{Ri}^2}{R_{Ri}} \quad (3.17)$$

(3.16)、(3.17) 即为变压器电阻等效公式。



对于上面的公式的应用需要解释说明，如图，若想将左图电路等效成右图电路，那么我们要将左图电路中右边的回路等效到左边的回路，从右向左等效，即用右侧物理量解出左侧等效的物理量，由 (3.16) 可知

$$R'_1 = R_L = \frac{n_L^2}{n_R^2} R_R = \frac{n_L^2}{n_R^2} R_1$$

注 3.6.2: 思考

对于存在多个副线圈的情况，有变压器电压关系、变压器电流关系以及变压器等效电阻公式

$$\frac{U_L}{n_L} = \frac{U_{R1}}{n_{R1}} = \dots = \frac{U_{Rn}}{n_{Rn}}$$

$$n_L I_L = n_{R1} I_{R1} + \cdots + n_{Rn} I_{Rn} = \sum n_{Ri} I_{Ri}$$

$$\frac{n_L^2}{R_L} = \frac{n_{R1}^2}{R_{R1}} + \cdots + \frac{n_{Rn}^2}{R_{Rn}} = \sum \frac{n_{Ri}^2}{R_{Ri}}$$

此形式与并联电路下电压、电路、等效电阻公式相类似

$$U_L = U_{R1} = \cdots = U_{Rn}$$

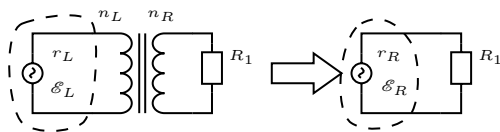
$$I_L = I_{R1} + \cdots + I_{Rn} = \sum I_{Ri}$$

$$\frac{1}{R_L} = \frac{1}{R_{R1}} + \cdots + \frac{1}{R_{Rn}} = \sum \frac{1}{R_{Ri}}$$

思考两者之间在物理上有什么相似性

对于理想变压器，忽略磁损，我们可以注意到，穿过每一个线圈的磁通量相同，其变化率也相同，而感应电动势正比于线圈匝数和磁通量变化率，类似于并联电路下不同支路两端电压相同，只是多了一个线圈匝数项而已。因此两者在公式形式上相似，在物理情形上也具有一定相似性。

3.6.3 变压器等效电源



对于有些电路，其副线圈所在电路较为复杂，故我们可以将主线圈所在的回路等效进从线圈。主线圈等效回路总可以等效成电动势为 \mathcal{E}_L ，内阻为 r_L 的电动势，则根据前文戴维宁定理 (3.4.2)，当从线圈两端开路时，根据变压器电压关系，可以算出等效的电动势满足

$$\frac{\mathcal{E}_L}{n_L} = \frac{\mathcal{E}_R}{n_R}$$

即与电动势电压关系相同（根据戴维宁定理，等效电源电动势等于开路时电压，故电动势等效关系形式上同变压器电压关系）

根据前文变压器等效电阻关系，结合戴维宁定理，可得

$$\frac{n_L^2}{r_L} = \frac{n_R^2}{r_R}$$

即与变压器等效电阻形式相同（根据戴维宁定理，等效电源内阻等于去除电动势后两端阻值，故电源内阻等效关系形式上同变压器等效电阻关系）

§3.7 “均方根值” 速求有效值

在高中，电压和电流的有效值的计算一般而言先假设一电阻，求出一段时间后该电阻发热，再假设其等效的电压或电流值，计算该电阻在相同时间内的发热，两者相等，联立消去假设的电阻和

时间，求解出等效电压或者电流值。这个方法准确的描述了有效值的定义，但并不利于计算。运用均方根值⁶以及正弦波与方波的等效可以便捷地求出高中内任意波形的有效值。

定义 3.7.1: 均方根值

对于一组数 $x_1, x_2 \dots x_i$ 以及其对应的权重 $a_1, a_2 \dots a_i$ ，其均方根值^a为

$$x_{rms} = \sqrt{\sum a_i x_i^2} = \sqrt{a_1 \cdot x_1^2 + a_2 \cdot x_2^2 + \dots + a_i \cdot x_i^2}$$

^arms 为均方根值缩写。对于均方根值严格的定义为在一个周期内， $x_{rms} = \sqrt{\frac{1}{T} \int_0^T f(t) dt}$ ，若 $f(t)$ 对应方波，则可得到离散的上式；对于正弦波的处理，见下文

现在我们来证明均方根值便是有效值⁷

现在假设一个均为方波的电压周期内，其电压 U_i 占时间 t_i ，假设这一电压加在某一电阻 R 上，则其一个周期内发热为

$$Q = \sum \frac{U_i^2}{R} t_i$$

现在假设其等效电压为 U_{eq} ，加在电阻 R 上一个周期的时间，则其发热为

$$Q = \frac{U_{eq}^2}{R} (\sum t_i)$$

上面两式相等，记一个周期时间 $T = \sum t_i$ ， a_i 为电压 U_i 在周期内占比，则有

$$U_{eq}^2 = \sum \frac{U_i^2 t_i}{T} = \sum a_i U_i^2$$

故电压的有效值为电压的均方根值。对于电流同理。

定理 3.7.1: 正弦式交流电有效值

对于正弦式交流电，其等效值为峰值的 $\frac{1}{\sqrt{2}}$ 倍

对于上述结论，高中课本并未给出证明，但可以通过积分证明上述关系，如下

设有一正弦式电压 $U = U_0 \sin(\frac{2\pi}{T} \cdot t)$ 其中 T 为该正弦交流电周期， U_0 为该正弦式交流电振幅。将其通在阻值为 R 的电阻上一个周期，则其发热为

$$Q = \int_0^T \frac{1}{R} U_0^2 \sin^2(\frac{2\pi}{T} \cdot t) dt = \frac{U_0^2}{R} \frac{T}{2\pi} \int_0^{2\pi} \sin^2 \theta d\theta = \frac{U_0^2 T}{2R}$$

现在假设其等效电压为 U_{eq} ，加在电阻 R 上一个周期的时间，则其发热为

$$Q = \frac{U_{eq}^2 T}{R}$$

上面两式相等，则有 $U_{eq} = \frac{U_0}{\sqrt{2}}$ 。上述推到对于电流同理，即正弦式交流电等效值为峰值的 $\frac{1}{\sqrt{2}}$ 倍，QED。

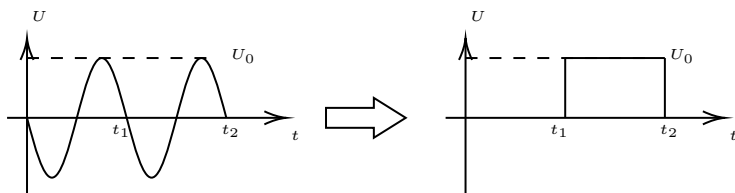
⁶ “均方根值”本质上跟数学上的“幂平均值”相同，但在电学分析中一般称其为“均方根值”

⁷ 其实均方根值的定义便是根据有效值而来，与其称其为证明不如称其为验证

定理 3.7.2: 正弦交流电等效方波

对于正弦式交流电, 由于 $\frac{U_0^2}{2} \cdot t = U_{eq}^2 \cdot \frac{t}{2}$, 因此对于一个持续时间为 t 、峰值为 U_0 正弦式交流电, 其可以用一个电压为 U_0 , 持续时间为 $\frac{t}{2}$ 的恒定方波替代 (电流同理)^a。

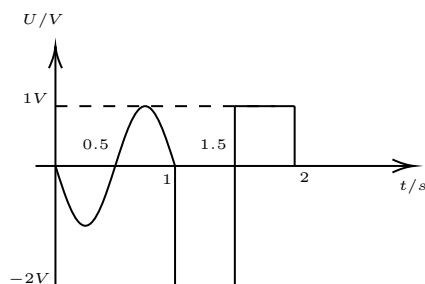
^a这里要求该正弦式交流电满足 $\frac{T}{4}$ 的整数倍, 在高中阶段大多满足。由于不满足此条件超出了高中阶段能求解的范围, 故笔者目前仍未见到不能运用此方法等效的高中题目。但为了严谨起见, 仍旧在此说明一下



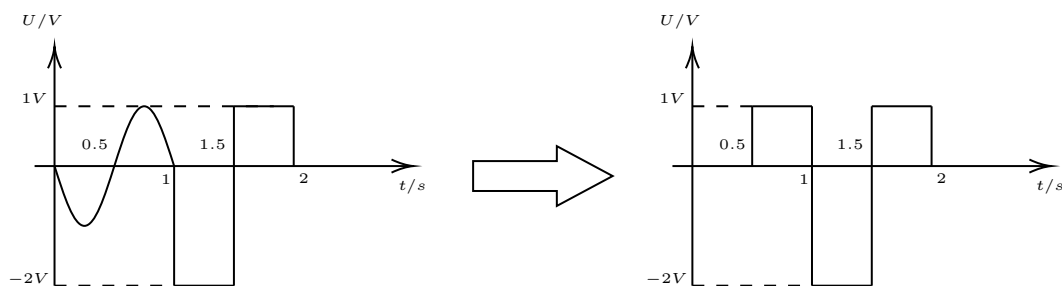
运用以上方法, 我们可以快速计算高中范围内所能见到的电压和电流的有效值, 具体操作见下面例题。

例 3.7.1: 自编题

现有一交流电, 其单个周期内波形如图所示, 求该交流电有效值



首先, 我们先把正弦波等效为方波, 根据前文定理 (3.7.2), 有

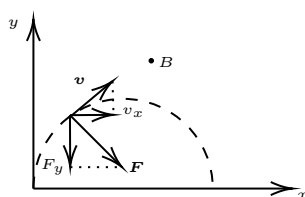


因此, 我们可以看到, 等效后整个波形由两个电压组成, $1V$ 电压持续了 $1s$, 占了整个波形的 $\frac{1}{2}$ 。而 $2V$ 电压 (计算有效值时我们不考虑正负) 持续了 $0.5s$, 占了整个波形的 $\frac{1}{4}$ 。因此, 由均方根值计算公式, 有

$$U_{eq} = \sqrt{\frac{1}{2} \times 1^2 + \frac{1}{4} \times 2^2} = \frac{\sqrt{6}}{2}$$

此方法熟练后, 如果题目数据设置比较易算, 我们可以直接口算出有效值。

§3.8 正则动量



如图所示，在垂直纸面向外的磁场 B 中有一个质量为 m ，电荷为 q 的带正电荷粒子初始时以速度 v 沿着 y 轴运动。由洛伦兹力得

$$F_y = Bqv_x$$

上式中 F_y 方向为沿着 y 轴负方向（略去了仅代表方向的负号，只考虑大小），上式两端乘 Δt ，得

$$\Delta P_y = F_y \Delta t = Bqv_x \Delta t = Bq \Delta x$$

定理 3.8.1: 正则动量

粒子在 x 方向上的位移 Δx 与在 y 方向上的动量改变量 ΔP_y 满足

$$\Delta P_y = Bq \Delta x$$

其中 ΔP_y 的方向遵循左手定则^a。

^a这里是化简的写法，在大学物理中，电磁场中正则动量为 $\hat{P} = m\mathbf{v} + q\mathbf{A}$ ，其中 \mathbf{A} 为磁矢势。正则动量在磁场中守恒。对于前文所提匀强磁场， $\hat{P}_y = mv_y + Bqx$ ，初末态 \hat{P} 相等，化简得出上式。也因此此方法其实就是正则动量守恒

这里我们可以举一个我们再熟悉不过的例子验证此式子的正确。我们知道，带电粒子只受磁场力且在垂直磁场平面运动时为圆周运动，满足

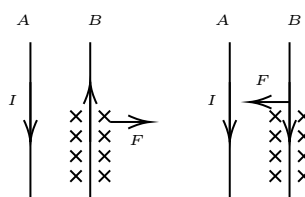
$$Bqv = m \frac{v^2}{R}$$

当粒子运动了 $\frac{1}{4}$ 圆周时，其 y 方向动量改变 ΔP_y ，因此由正则动量守恒，有

$$\Delta x = \frac{\Delta P_y}{Bq} = \frac{mv}{Bq}$$

可以看到就是我们所熟悉的粒子运动半径 R ，由图示可知 Δx 确实等于 R 。

§3.9 “同吸反斥”

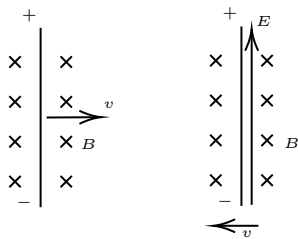


对于两根通电导线，若两根导线电流方向相反，如左图所示，根据安培定则以及右手螺旋定则，则两根导线相互排斥；同理，若两根导线电流方向相同，则两根导线相互吸引。

定理 3.9.1: “同吸反斥”

电流总有趋向于同向的趋势，同向电流相互吸引，反向电流相互排斥，即“同吸反斥”。

此定理可以和楞次定律的“增反减同”、“来拒去留”、“增缩减扩”一同记忆，在解决电磁感应下导线受力问题时常常能极大简化分析，具体操作见如下例题。

§3.10 电磁场换系

如图左图所示，若在一个大小为 B 的匀强磁场中存在一根长为 L 的金属杆以速度 v 切割磁感线，那么金属杆两端的电动势为 $\mathcal{E} = BLv$ ；但我们还可以在另一个参考系考虑这个问题。如右图所示，我们以金属杆为参照选取参考系，那么在新参考系中，金属杆速度为 0，而磁场以速度 v 向左运动。由于改变参考系不应改变杆两端的电势差，故我们可以认为在新参考系中存在一个方向向上的电场 E ，其电场大小满足 $EL = BLv$ ，即 $E = Bv$ ，方向可用左图由右手定则判断（跟判断动生电动势相同，但将电流当成电场，电流方向即电场方向。当然也可以用后面的通用“左手定则”娱乐章节 (3.12) 或者下文的叉乘式 (3.18) 判断方向）。

故我们可以得到电磁场换系的变换关系

定理 3.10.1: 电磁场换系

若在参考系 S 中存在匀强磁场 B （为讨论方便，取原电场为 0），现有新参考系 S' 相对旧参考系 S 以速度 v 运动，在新参考系 S' 中，其等效的磁场 B' ，电场 E' 满足

$$B' = B, \quad E' = Bv$$

其中 E' 方向可在 S 系中由右手定则确定。

注 3.10.1: 更严谨的推导（超纲）

对于上文电磁场换系，其本质上是电磁场的相对论变换，其需要竞赛的一些知识，在此不做介绍，感兴趣的同学可自行搜索有关内容。以下给出其简略推导过程

电磁场满足洛伦兹变换，从 S 系变换到 S' 系满足

$$\mathbf{E}' = \gamma(\mathbf{E} - \mathbf{v} \times \mathbf{B}), \quad \mathbf{B}' = \gamma\left(\mathbf{B} + \frac{\mathbf{v} \times \mathbf{E}}{c^2}\right), \quad \gamma = \frac{1}{\sqrt{1 - (\frac{v}{c})^2}}$$

其中 γ 为洛伦兹因子，“ \times ”为叉乘 (3.12.1)。在低速中 ($v \ll c$)， $\gamma = 1$ ， $(\mathbf{v} \times \mathbf{E})/c^2 = 0$ ，故上式化简为

$$\mathbf{E}' = \mathbf{E} - \mathbf{v} \times \mathbf{B}, \quad \mathbf{B}' = \mathbf{B}$$

取原电场场强为 $\mathbf{0}$ ，由叉乘的反交换律 (3.12.1)，得

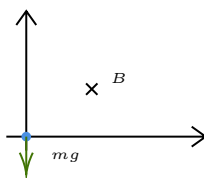
$$\boxed{\mathbf{E}' = \mathbf{B} \times \mathbf{v}, \quad \mathbf{B}' = \mathbf{B}} \quad (3.18)$$

即前文公式的矢量式。

§3.11 配速法

3.11.1 分解速度角度介绍“配速法”

何为“配速法”？配速法其实就是将原来速度分解，给物体配一个速度 \mathbf{v} ，使得这个速度所产生的洛伦兹力与题中的重力或者电场力（视情况而定）抵消，对应的，这时还会剩下一个速度 \mathbf{v}' ，这时等效于只受到一个洛伦兹力，而不再是重力或者电场力加上洛伦兹力，从而降低分析难度。



我们先来分析如下情境。如图，一个带点小球位于坐标原点，其质量为 m ，电荷量为 q ，位于磁场强度为 B 的水平磁场中，初速度为 0 ，试分析其运动。

我们可以对运动进行如下分解：



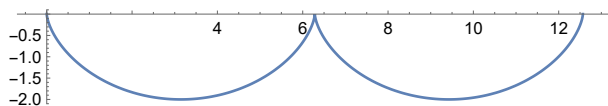
首先我们对初速度（这里初速度为 $\mathbf{0}$ ）进行平行四边形分解，由于初始时速度为 0 ，故我们可以分解成两个等大反向的速度（即 v_1 和 v_2 等大反向）。 v_1 和 v_2 在磁场中分别产生洛伦兹力，且物体受到的总的洛伦兹力可以表示为 v_1 、 v_2 分别产生的洛伦兹力的矢量合成。其中，我们希望 v_2 产生的洛伦兹力可以抵消重力，故

$$v_2 = \frac{mg}{Bq}$$

则 v_2 引起的运动为向右的匀速直线运动。由于 v_1 和 v_2 等大反向，故 $v_1 = v_2$ （只考虑大小，不考虑方向）。由于 v_2 产生的洛伦兹力抵消了重力，那么分析 v_1 造成的运动时可不考虑重力，故 v_1 会使得物体做圆周运动，其半径为

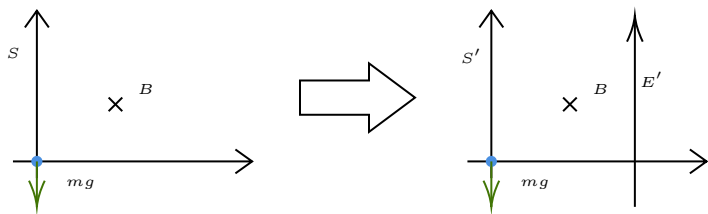
$$R = \frac{mv_1}{Bq} = \frac{m^2 g}{B^2 q^2}$$

物体实际的运动为 v_2 引起的向右匀速直线运动和 v_1 引起的逆时针圆周运动的合成，实际轨迹见下图（取 $R = 1$ ， $v_1 = v_2 = 1$ ）



3.11.2 电磁场换系角度介绍“配速法”

借助前文提到的电磁场换系 (3.10)，我们可以从另一个角度分析配速法。考虑同样的情景，如图，一个带点小球位于坐标原点，其质量为 m ，电荷量为 q ，位于磁场强度为 B 的水平磁场中，初速度为 0 ，试分析其运动。



如图，我们记相对地面静止的参考系为 S 系，由于 S 系中物体受到重力和磁场力，运动较难分析，故我们考虑选取一个新的参考系 S' ，使得在 S' 中存在一个方向向上的电场 E' ，与重力 mg 抵消，使得在 S' 系中物体做匀速圆周运动。（见电磁场换系 (3.10) 一章）

在 S' 系中，由于电场力与重力抵消，故 $E'q = mg$ 。根据电磁场换系定理 (3.10.1)，有 $E' = Bv$ ，故 S' 系相对 S 系以速度 $v = \frac{mg}{Bq}$ 向右运动。

由于 S' 系相对 S 系以速度 v 向右运动，初始时物体相对 S 系速度为 0，根据“速度及加速牵连”章节 (2.8.1)，在 S' 系中，初始时物体速度 $v' = 0 - v = -\frac{mg}{Bq}$ ，负号代表方向向左。根据前文物体在 S' 系中做匀速圆周运动，故圆周运动半径为（计算时忽略了 v' 的负号，只考虑大小）

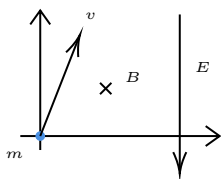
$$R = \frac{mv'}{Bq} = \frac{m^2g}{B^2q}$$

根据“速度及加速牵连”章节 (2.8.1)，物体在 S 系中的运动为物体在 S' 系的运动与 S' 系相对 S 系运动的叠加，故物体实际的运动为 S' 系相对 S 系运动引起的以速度 v 向右匀速直线运动和在 S' 系运动引起的半径为 R 的逆时针圆周运动的合成。

3.11.3 配速法与粒子汇聚

注 3.11.1: 注意

这里所讲与一般所讲的圆形磁场的“磁汇聚”并不相同，此模型笔者在写此章节时没有在任何参考书中见过，考的可能性也不大，但由于较有意思，故在此介绍。



如图所示，在如图所示复合场中，原点处有一个粒子源，向外发射质量为 m ，带电量为 q 的粒子，初速度为 v ，方向任意。根据前文“配速法”，我们可知任意粒子运动为向右匀速直线运动 v' 跟匀速圆周运动叠加而成。由前文易知，向右匀速直线运动 v' 满足（注意，前面除磁场外的力为重力，这里为电场力）

$$v' = \frac{E}{B}$$

由于磁场中匀速圆周运动周期 $T = \frac{2\pi m}{Bq}$ 与速度无关，故无论粒子初速度大小和方向，其分运动中的匀速圆周运动周期 T 相同，在 nT 的时间后回到原处 ($n \in \mathbb{N}^+$)⁸，此时，分运动中的匀速向右运动经过的路程为

⁸ \mathbb{N}^+ 为非零实数集

$$x = v' \cdot nT = n \cdot \frac{2\pi mE}{B^2 q}$$

可以看到此路程与粒子初速度大小和方向无关，因此，在经过 nT 的时间后，粒子分运动中匀速向右运动距离相同，圆周运动均回到原处，故粒子会汇聚在 $n \cdot \frac{2\pi mE}{B^2 q}$ 处，与粒子初速度大小和方向无关。

§3.12 通用“左手定则” * 9

注 3.12.1: 警告

此章节为娱乐章节，仅介绍一下笔者一些自认为有意思的想法，如读者感到疑惑或者已有自己习惯，用不习惯此方法，大可将此章节直接抛掉。

在高中阶段，我们有描述安培力和洛伦兹力方向的“左手定则”，也有描述动生电动势方向的“右手定则”。有时我们会搞混“左手定则”和“右手定则”，造成方向的误判。故笔者提出一种新的通用的“左手定则”，均使用左手来判断上述三种情况的方向。相比原本的两个定则，笔者认为这个新的方法更不容易出错，并且在做题中更方便。

首先，我们要引入叉乘的概念

定义 3.12.1: 叉乘

叉乘^a是两个向量之间的运算，两个向量的叉乘得到的还是向量，向量 \mathbf{a} 与向量 \mathbf{b} 的叉乘记为 $\mathbf{a} \times \mathbf{b}$

叉乘的模 两向量叉乘得到的向量的模长满足

$$|\mathbf{a} \times \mathbf{b}| = |\mathbf{a}||\mathbf{b}|\sin\theta$$

其中 θ 为向量 \mathbf{a} 与向量 \mathbf{b} 的夹角，可以看到对于叉乘的模长与我们所熟悉的点乘相比只需要将点乘的 $\cos\theta$ 替换为 $\sin\theta$ 即可^b。

叉乘的方向 记 $\mathbf{c} = \mathbf{a} \times \mathbf{b}$ ，则 \mathbf{c} 与 \mathbf{a} 和 \mathbf{b} 所在平面垂直，且满足如下图所示“右手定则”，即伸开右手，使得拇指与其余四个手指垂直，且与手掌在同一平面内，让四指先指向第一个向量 (\mathbf{a})，后弯向第二个向量 (\mathbf{b})，此时拇指所在方向即为叉乘方向 (\mathbf{c})。

叉乘的反交换律 叉乘有如下所示的重要性质，可通过右手定则验证

$$\mathbf{a} \times \mathbf{b} = -\mathbf{b} \times \mathbf{a}$$

^a又称为外积、向量积、叉积

^b此时你可以注意到叉乘模长的运算形式与安培力、洛伦兹力、动生电动势的式子形式相似

对于安培力、洛伦兹力、动生电动势，其矢量式分别为

⁹带“*”号为娱乐章节

$$\mathbf{F} = I\mathbf{L} \times \mathbf{B}, \quad \mathbf{F} = q\mathbf{v} \times \mathbf{B}, \quad \mathcal{E} = (\mathbf{v} \times \mathbf{B}) \cdot \mathbf{L}$$

上式中 \mathbf{L} 的方向定义为导线中电流的方向。对于第三个式子，若只考虑 $\mathbf{v} \times \mathbf{B}$ 与 \mathbf{L} 平行的情况（高中中绝大多数都是这种情况），结合前文提到的叉乘的反交换律，则上面三式可改写为

$$\mathbf{F} = -I\mathbf{B} \times \mathbf{L}, \quad \mathbf{F} = -q\mathbf{B} \times \mathbf{v}, \quad \mathcal{E} = L|(-\mathbf{B}) \times \mathbf{v}|$$

从上面三式可以看出，其都为 \mathbf{B} 叉乘其他矢量的结构（提出负号），且被叉乘的矢量为“原因”，得到的量为“结果”。而前面的负号可以通过将“右手定则”改为“左手定则”而自动加上。因此，我们可以得到如下的新“左手定则”

定理 3.12.1: 通用“左手定则”

类似前文提到的“右手定则”，伸开左手，使得拇指与其余四个手指垂直，且与手掌在同一平面内，让四指先指向磁场方向，后弯向“因”，此时拇指所在方向即为“果”。

这里需要对上面的“原因”和“结果”进一步说明：

- **安培力** 因为有电流，故产生了安培力。电流为“因”，安培力为“果”
- **洛伦兹力** 因为有速度，产生了电流^a，故产生了洛伦兹力。电流为“因”，洛伦兹力为“果”
- **动生电动势** 因为有速度，故产生了电流^b。速度为“因”，电动势为“果”

^a正电荷电流方向跟运动方向相同，负电荷相反

^b这里电流为电源内部电流，故电流流向电源正极，即拇指方向指向电源正极

可见，运用此方法，我们可以将安培力、洛伦兹力、动生电动势方向均可以使用通用“左手定则”判断。且还有一个好处，运用此方法，我们不需要想象磁场线在垂直手掌方向的分量，磁场与“因”的方向可以不是 90° ，而是任意度数（只有弯手掌时不弯 90° 即可）

Chapter 4

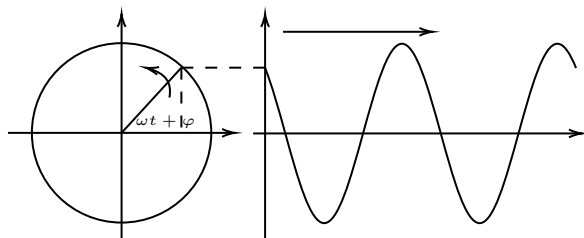
波动与光学

§4.1 参考圆

4.1.1 定义

简谐振动中，物体的位移 x 满足正弦规律变化¹，即 $x = A \sin(\omega t + \varphi)$ ，其中， A 被称之为**振幅**， $\omega = \frac{2\pi}{T}$ 被称之为**频率**， $(\omega t + \varphi)$ 称之为**相位**（其随时间而变化），而 $t = 0$ 时的相位我们称其为**初相**。

对于一个简谐振动，我们总可以认为其为半径为 A 、角速度为 ω 的**匀速圆周运动在 x 轴或者 y 轴上的投影**，我们将这个投影后为所需的简谐振动的圆称为**参考圆**。



运动学角度理解参考圆

如图所示，参考圆上某点在 t 时刻与 x 正方向的角度为 $\omega t + \varphi$ ，其投影为

$$x = A \sin(\omega t + \varphi)$$

可以看出，此投影的运动满足正弦规律变化，为简谐运动。

动力学角度理解参考圆

如图所示，参考圆上某点在 t 时刻与 x 正方向的角度为 $\omega t + \varphi$ ，其投影为

$$x = A \sin(\omega t + \varphi)$$

对 x 关于时间求一阶导和二阶导，得到其速度，加速度为

$$v = x'(t) = A\omega \cos(\omega t + \varphi), \quad a = v'(t) = -A\omega^2 \sin(\omega t + \varphi)$$

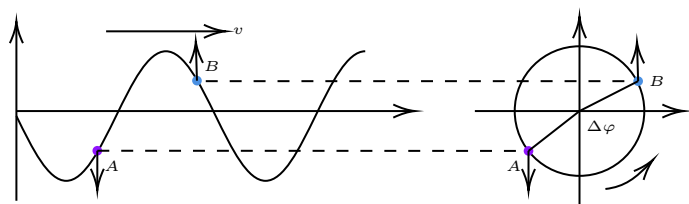
由 $F = ma$ ，有

$$F = -mA\omega^2 \sin(\omega t + \varphi) = -m\omega^2 x$$

可以看到，上式满足 $F = -kx$ （其中 k 为常数）的关系，故此运动为简谐运动

¹这里我们不区分所谓的“正弦式变化”、“余弦式变化”，本质上只是后文提及的初相不同而已

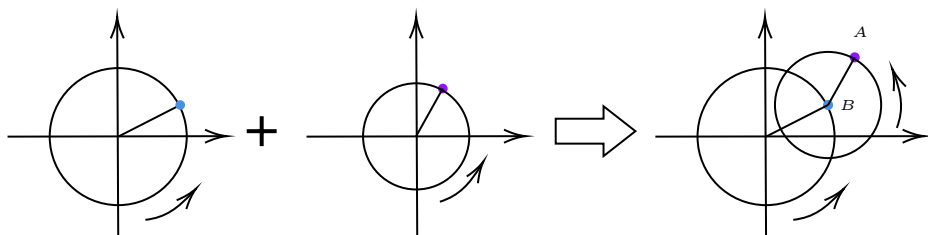
4.1.2 波动中各质点参考圆关系



如图所示，现有一简谐波沿 x 方向传播，上面有质点 A 和质点 B 。质点 A 和质点 B 在各自的位置做简谐振动，由于 A 和 B 的简谐振动振幅相同，周期相同，我们可以把 A 和 B 用同一个参考圆表示。

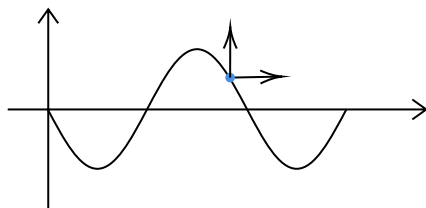
由于质点 A 比 B 平衡位置更靠近波源，故质点 A 比质点 B “超前”（这里“超前”指质点 A 比质点 B 在同一时刻相对 x 轴正半轴转动角度更大，反之为“滞后”），且 A 和 B 的夹角 $\Delta\varphi$ 为定值，可以认为 $\angle AOB$ 恒定不变且绕 O 点旋转，其两边与圆的交点分别对应 A 和 B 此时在参考圆上的位置。此方法对于某些题目有时能让我们更容易理解和解答。

4.1.3 振动的叠加与参考圆叠加



如图所示，现有两个参考圆，分别对应 x 轴的两个简谐振动，若这两个简谐运动叠加可得到一个新的运动，此运动可以等效为这两个参考圆首尾相连后末端 A 点在 x 轴方向的投影的运动。此方法在考试中很少碰到，在此不做过多介绍。

§4.2 “同侧法”判断波动方向



一简谐波的波形图 ($y-x$ 图) 如上图所示，上有一质点，判断波的传播方向或该质点此时的运动方向有如下简便的方法。

定理 4.2.1: “同侧法”判断波动方向

任取一个非顶点的质点，左右传播方向和该质点运动方向成一个九十度角。如图所示可以用两个剪头分别表示出来。在波形图中，这两个箭头一定是在波的同侧出现。

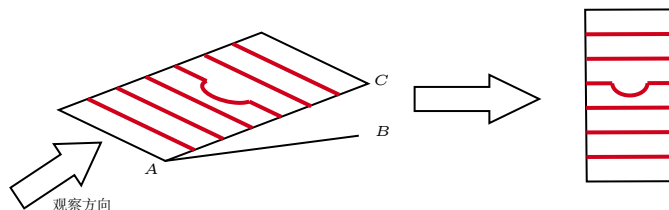
运用此方法，知道波的振动方向或某时刻质点的运动方向，便可快速判读出另一个方向。

§4.3 “旋转法”判断干涉平面凸起还是凹下



如右图所示，现用一块平整的玻璃板 AC 与待测板 AB 形成一劈尖，并用激光照射，其干涉图样如左图所示，现判断待测板存在凸起还是凹陷。

对于这类题目，我们可以想象将干涉条纹“叠加”到劈尖上，并“旋转”劈尖使得尖端指向自己，如图所示。



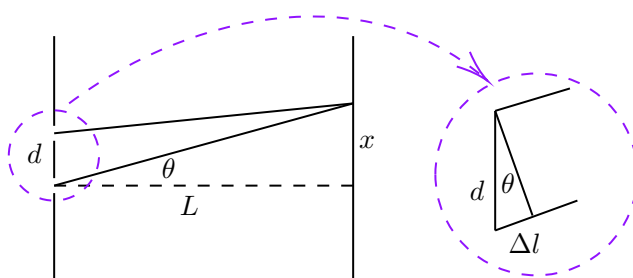
在进行这样的想象后，若干涉条纹向下凹，则待测板凹陷，反之若干涉条纹向上凸，则待测板凸起。此过程非常直观，劈尖摆放向左或向右均可使用，可快速判断此类问题。

注 4.3.1: 易错提醒

一般而言，题目中倾斜放置的是标准板，而水平放置的是待测板，且一般从上方向下观察条纹。目前笔者并未见到其他情形的题目，但若出现除上述情形之外的情形，则需要具体问题具体讨论。笔者并未验证过其他情况的正确性。

条纹的弯曲本质上是光程差的偏大或偏小，或许可以总结出条纹弯曲与光程差偏大或偏小的更通用的结论，读者可以自行总结和探讨。

§4.4 双缝干涉 —— “横乘横等于竖乘竖”



如图，一个间距为 d 的双缝，离光屏距离为 L ，干涉条纹间距为 Δx ，光的波长为 λ 。由于光屏比较远（即满足 $L \gg d$ ），则可以近似认为从双缝发出的光到光屏上同一点的光线互相平行。

记到某一点的两束光光程差为 Δl ，第 n 条亮条纹离光屏上的等光程点距离为 x_n （根据前文近似条件，这里取下面的缝发出光线垂直于光屏时的位置为等光程点²。）由几何关系，有

$$\Delta l = d \sin \theta$$

²当然这里也可以取上面的缝对应在光屏上的点或者两缝中点对应在光屏上的点，由于 d 为小量，可以略去不同取法的差别

$$x_n = L \tan \theta$$

由于亮条纹光程差满足 $\Delta l = n\lambda$ ($n \in \mathbb{N}^+$), 故

$$x_n = L \tan \theta \approx L \sin \theta = \frac{L \Delta l}{d} = \frac{n\lambda L}{d}$$

θ 为小量时, $\theta \approx \sin \theta \approx \tan \theta$ (见 “常用小量近似” (1.4))

因此, 两条亮条纹之间间距 $\Delta x = x_n - x_{n-1} = \frac{\lambda L}{d}$, 故

定理 4.4.1: 双缝干涉 —— “横乘横等于竖乘竖”

在双缝干涉中, 干涉条纹间距 Δx 、双缝距离 d 、缝与光屏距离 L 、光的波长 λ 满足

$$L\lambda = d\Delta x$$

记忆方法为“横乘横等于竖乘竖”(光为横波, 故光的波长记为“横”, 乘上“横的距离”(即为 L , 在示意图中它是“横着的”), 等于两个“竖的距离”相乘(即为 d 和 Δx , 在示意图中它是“竖着的”))

Chapter 5

测试

此章节仅做测试使用，之后删除

§5.1 SI 单位

使用`siunitx`宏包可以方便地输入 SI 单位制单位，例如`\SI{5}{\um}`可以得到 $5\,\mu\text{m}$ 。

§5.2 定理环境

在本书中，定义了如下几个环境 `mk`(注)，`theo`(定理)，`defi`(定义)，`ep`(例)，`mk` (注)。

定理 5.2.1: 勾股定理

若 a, b 为直角三角形的两条直角边， c 为斜边，那么 $a^2 + b^2 = c^2$ 。

例 5.2.1: 诗句

似此星辰非昨夜

定义 5.2.1: 质心

若各质点质量与坐标分别为 $m_1, (x_1, y_1)$, $m_2, (x_2, y_2) \cdots m_n, (x_n, y_n)$ ，则质心位置为

$$x_c = \frac{\sum m_i x_i}{\sum m_i} \quad y_c = \frac{\sum m_i y_i}{\sum m_i}$$

注 5.2.1: 标注

这是一个标注